

Historique

- 1962 Thèse de Carl Adam Petri (RFA)
- 1975 Travail important (France & RFA)
- 1980 Conférence Annuelle (Springer-Verlag)

Diffusion

"Mondiale" : Universitaire & Industrielle

Outils Disponibles [89-92]

31 Outils USA, Japon, CEE, Pays de l'Est

10 Industriels (3 Français (2 Toulousains))

Site où sont répertoriés les ≠ outils:

<http://www.daimi.aau.dk/PetriNets/tools/>

Applets Java: <http://www.daimi.aau.dk/PetriNets/tools/java/>

Intérêt

Formalisme Rigoureux (sémantique précise)

Expressivité

Compacité (machines à états)

Concepts: //, Coopération, Compétition, Synchronisation, ...

Dualité Etat/Evénement

Représentation Graphique

Possibilité d'Analyse Structurale, Exhaustive

- 1977 Grafcet Commande Séquentielle (API)
- 1980 Evaluation de Performances
- 1980 Protocoles de Communication
- 1986 Systèmes d'Information, IHM
- 1989 Modèles de Raisonnement
- 1989 Systèmes Coopératifs

\neq Applications \leftrightarrow \neq Modeles

5

G.W Brams (ouvrage collectif)
Réseaux de Petri: Théorie et Pratique (2 tomes)
 Masson -1980 (Epuisé DGE)

W. Reisig
Petri Nets. An Introduction
 Springer-Verlag EATCS 1985

C. Reutenauer
Aspect Mathématiques des Réseaux de Petri
 Etudes et recherches en informatique
 Masson - 1989

6

K. Jensen
Coloured Petri Nets (2 tomes)
 Springer-Verlag EATCS 1992

W. Reisig
*Elements od Distributed Algortithms:
 Modeling and Analysis with Petri Nets*
 Springer-Verlag 1998

M. Diaz (Editeur)
 Les Réseaux de Petri. Modèles fondamentaux,
 Hermes Science, Traité IC2, NISBN 2-7462-0250-6, 2001

M. Diaz (Editeur)
 Vérification et mise en oeuvre des réseaux de Petri
 Hermes Science, Traité IC2, NISBN ... , 2003

7

Sites WEB

World of Petri Nets:
<http://www.daimi.aau.dk/PetriNets/>
 FAQ: Frequently Asked Questions
 Petri Nets Standard
 Tools etc

Groupe Réseaux de Petri
<http://www.ec-lille.fr/rdp/>

8

1 Définitions de Base

1.1 Réseau Place/Transition

$R = \langle P, T, Pr, Post \rangle$ où

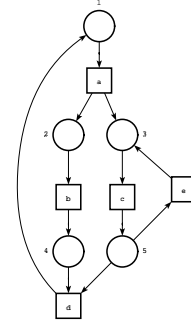
P est un ensemble fini de Places

T est un ensemble fini de Transitions $P \cap T = \emptyset$

$Pre : P \times T \mapsto IN$ incidence avant

$Post : P \times T \mapsto IN$ incidence arrière

1.2 Représentation Graphique



10

1.4 Notations Matricielles

Réprésenter matriciellement M, Pre & $Post$

$Pre : P \times T \mapsto IN$

$Post : P \times T \mapsto IN$

$M : P \mapsto IN$

Pre	a	b	c	d	e
1	1	0	0	0	0
2	0	1	0	0	0
3	0	0	1	0	0
4	0	0	0	1	0
5	0	0	0	1	1

Post	a	b	c	d	e
1	0	0	0	1	0
2	1	0	0	0	0
3	1	0	0	0	1
4	0	1	0	0	0
5	0	0	1	0	0

M_0
1
0
0
0
0

Réseaux Place/Transition

- Définitions & Concepts de base, Enumération, Propriétés
- Analyse Structurale : Invariants et Réduction
- Décidabilité de la finitude de l'espace d'états accessibles

Extensions

- Réseaux Prédicat/Transitions (colorés)
- Réseaux temporels, temporisés

Nombreux Autres Modèles

- Systèmes de transitions (automates),
- Algèbres de Processus,
- Acteurs, State-Charts, Grammaires de Graphes, ...

9

1.3 Réseau Place/Transition Marqué

Marquage:

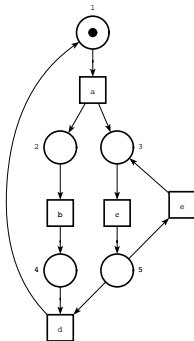
$M : P \mapsto IN$

$M(p)$ dénote le marquage pour M de la place p

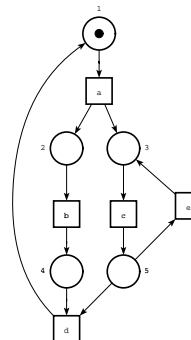
Réseau marqué

Couple (réseau, marquage) $N = \langle R, M \rangle$

Représentation Graphique



11



12

$$M[t > \text{ssi} \forall p \in P : M(p) \geq \text{Pre}(p, t)$$

$$\text{Si } M[t > M' \text{ alors } \forall p \in P : M'(p) = M(p) - \text{Pre}(p, t) + \text{Post}(p, t)$$

2.1 Transition sensibilisée

Une transition t est sensibilisée pour un marquage M ssi

$$\forall p \in P : M(p) \geq \text{Pre}(p, t)$$

On le note $M[t >$

2.2 Règle de Tir d'une transition sensibilisée

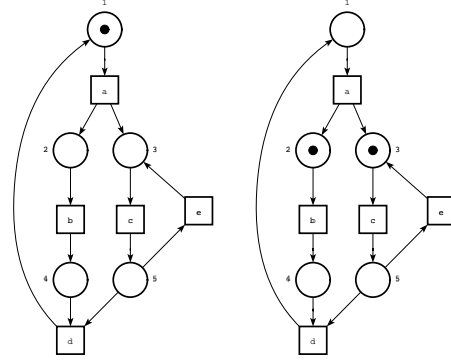
Soit t une transition et M un marquage tel que $M[t >$
alors le tir de t à partir de M conduit en M' défini par:

$$\forall p \in P : M'(p) = M(p) - \text{Pre}(p, t) + \text{Post}(p, t)$$

(ou aussi $M' = M - \text{Pre}(., t) + \text{Post}(., t)$)

On le note $M[t > M'$

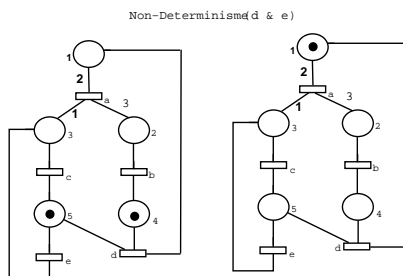
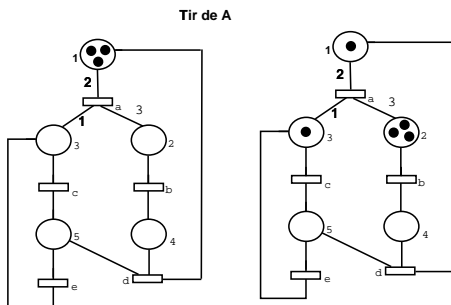
Tir de la transition a



Remarques:

- $\text{Pre}(., t)$ est le marquage minimum permettant de tirer t
- $\text{Post}(., t)$ est le marquage minimum que l'on peut atteindre après le tir de t
- L'évolution des marquages est indépendante du marquage de départ

Exemple (suite)



Tir de d

3 Espace des Etats Accessibles

3.1 Ensemble des Marquages accessibles $A(R, m_0)$

$$A_0 = \{m_0\}$$

$$A_i = \{m \in \mathbb{N}^p / \exists m' \in A_{i-1}, \exists t \in T : m'[t > m\}$$

$$A(R, m_0) = \cup_{i \geq 0} A_i$$

3.2 Graphe des Marquages accessibles $G(R, m_0)$

Graphe $\mathcal{G} = \langle S, \rightarrow, L \rangle$ où

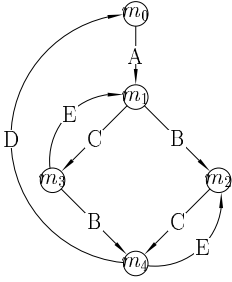
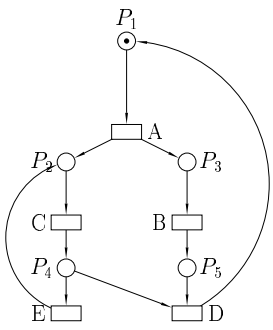
- S est un ensemble de sommets,
- L est un ensemble de labels de transitions
- et \rightarrow la relation de transition ($\subset S \times L \times S$)

Notations: $s \xrightarrow{t} s'$ au lieu de $(s, t, s') \in \rightarrow$

Si $\omega = t_1 \dots t_n$ on note $s \xrightarrow{\omega} s'$ ssi $s \xrightarrow{t_1} s_1 \dots s_n \xrightarrow{t_n} s_{n+1}$ ($s' = s_{n+1}$)

$$G(R, m_0) = \langle A(R, m_0), \rightarrow, L \rangle \text{ où}$$

- \rightarrow est le plus petit ensemble vérifiant:
- (m_1, t, m_2) $\in \rightarrow$ ssi $m_1, m_2 \in A(R, m_0), t \in T$ et $m_1[t > m_2$
- $L \subset T$ défini par $t \in L$ ssi $(m_1, t, m_2) \in \rightarrow$



m_0	m_1	m_2	m_3	m_4
1	0	0	0	0
0	1	0	1	0
0	1	1	0	0
0	0	1	0	1
0	0	0	1	1

```

1. Initialisation: Stack is empty ;
   push  $m_0$  into Stack
    $A(R, m_0)$  is empty ;
   enter  $m_0$  in  $A(R, m_0)$ 

2. Boucle : while Stack  $\neq \emptyset$ 
   loop {
     pop( $q$ ) from stack
      $T \leftarrow \{t \in T : q [ t > \}$ ;
      $\forall t \in T$  do
       {  $q [ t > q'$ ;
         if  $q' \notin A(R, m_0)$  then {enter  $q'$  in  $A(R, m_0)$ ; put  $q'$  onto Stack}
       }
     }
   }

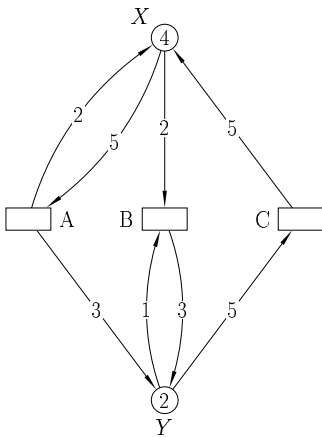
```

“Pseudo” car rien sa terminaison n’est pas assurée

$$L(R, m_0) = (a.(ce)^*. (cb + bc)^*. (ec)^*. d)^*$$

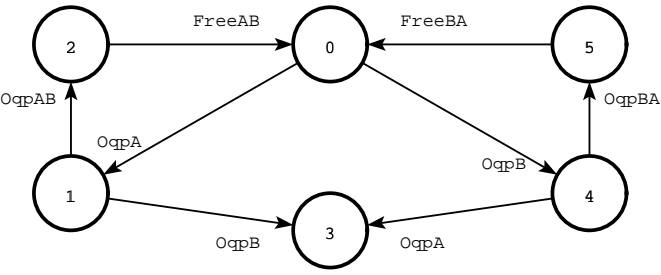
3.4 Exercice

.../...

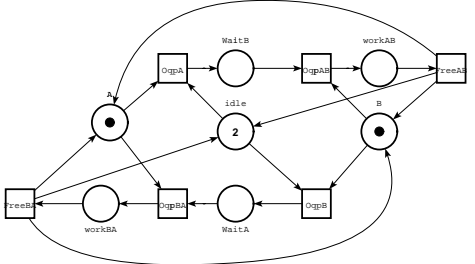


3.5.1 Partage de Ressources

Pb: Deux processus (banalisés) partagent deux ressources (A et B). L'un des processus se procure d'abord A (OqpA), puis se procure B (OqpAB), il travaille (WorkAB) puis il retourne (en même temps) au repos et libère (FreeAB) les ressources A et B. L'autre processus procède dans l'ordre inverse: obtention de B puis de A.



Réseau Associé



Marquages

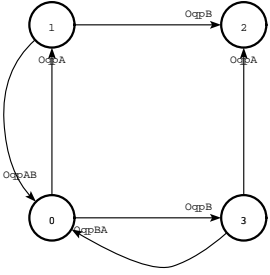
MARKINGS:

- 0 : A B idle*2
- 1 : B WaitB idle
- 2 : idle workAB
- 3 : WaitA WaitB
- 4 : A WaitA idle
- 5 : idle workBA

3.5.2 Partage de Ressources (variante)

Pb: Deux processus (banalisés) partagent deux ressources (A et B). L'un des processus se procure d'abord A (OqpA), puis se procure B (OqpAB) et retourne (en même temps) au repos et libère les ressources A et B. L'autre processus procède dans l'ordre inverse: obtention de B puis de A.

Graphe de marquages associé

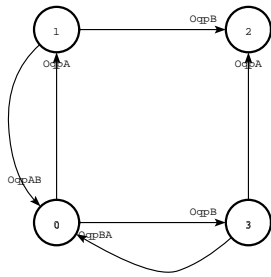


Différentes notations pour représenter des marquages

		0	1	2	3
Matricielle	m_A	$\begin{vmatrix} 1 \\ \end{vmatrix}$	$\begin{vmatrix} 0 \\ \end{vmatrix}$	$\begin{vmatrix} 0 \\ \end{vmatrix}$	$\begin{vmatrix} 1 \\ \end{vmatrix}$
	m_B	$\begin{vmatrix} 1 \\ \end{vmatrix}$	$\begin{vmatrix} 1 \\ \end{vmatrix}$	$\begin{vmatrix} 0 \\ \end{vmatrix}$	$\begin{vmatrix} 0 \\ \end{vmatrix}$
	m_I	$\begin{vmatrix} 2 \\ \end{vmatrix}$	$\begin{vmatrix} 1 \\ \end{vmatrix}$	$\begin{vmatrix} 0 \\ \end{vmatrix}$	$\begin{vmatrix} 1 \\ \end{vmatrix}$
	m_{WA}	$\begin{vmatrix} 0 \\ \end{vmatrix}$	$\begin{vmatrix} 0 \\ \end{vmatrix}$	$\begin{vmatrix} 1 \\ \end{vmatrix}$	$\begin{vmatrix} 1 \\ \end{vmatrix}$
	m_{WB}	$\begin{vmatrix} 0 \\ \end{vmatrix}$	$\begin{vmatrix} 1 \\ \end{vmatrix}$	$\begin{vmatrix} 1 \\ \end{vmatrix}$	$\begin{vmatrix} 0 \\ \end{vmatrix}$
Vectorielle (combinaison linéaire)	\vec{A}	$\begin{vmatrix} 1 \\ 0 \\ 0 \\ 0 \\ 0 \\ \end{vmatrix}$	$\begin{vmatrix} 0 \\ 1 \\ 0 \\ 0 \\ 0 \\ \end{vmatrix}$	$\begin{vmatrix} 0 \\ 0 \\ 1 \\ 0 \\ 0 \\ \end{vmatrix}$	$\begin{vmatrix} 0 \\ 0 \\ 0 \\ 1 \\ 0 \\ \end{vmatrix}$
	\vec{B}	$\begin{vmatrix} 0 \\ 1 \\ 0 \\ 0 \\ 0 \\ \end{vmatrix}$	$\begin{vmatrix} 0 \\ 0 \\ 1 \\ 0 \\ 0 \\ \end{vmatrix}$	$\begin{vmatrix} 0 \\ 0 \\ 0 \\ 1 \\ 0 \\ \end{vmatrix}$	$\begin{vmatrix} 0 \\ 0 \\ 0 \\ 0 \\ 1 \\ \end{vmatrix}$
	\vec{I}	$\begin{vmatrix} 0 \\ 0 \\ 1 \\ 0 \\ 0 \\ \end{vmatrix}$	$\begin{vmatrix} 0 \\ 0 \\ 0 \\ 1 \\ 0 \\ \end{vmatrix}$	$\begin{vmatrix} 0 \\ 0 \\ 0 \\ 1 \\ 0 \\ \end{vmatrix}$	$\begin{vmatrix} 0 \\ 0 \\ 0 \\ 0 \\ 1 \\ \end{vmatrix}$
	\vec{W}^A	$\begin{vmatrix} 0 \\ 0 \\ 0 \\ 1 \\ 0 \\ \end{vmatrix}$	$\begin{vmatrix} 0 \\ 0 \\ 0 \\ 1 \\ 0 \\ \end{vmatrix}$	$\begin{vmatrix} 0 \\ 0 \\ 0 \\ 1 \\ 0 \\ \end{vmatrix}$	$\begin{vmatrix} 0 \\ 0 \\ 0 \\ 0 \\ 1 \\ \end{vmatrix}$
	\vec{W}^B	$\begin{vmatrix} 0 \\ 0 \\ 0 \\ 0 \\ 1 \\ \end{vmatrix}$	$\begin{vmatrix} 0 \\ 0 \\ 0 \\ 0 \\ 1 \\ \end{vmatrix}$	$\begin{vmatrix} 0 \\ 0 \\ 0 \\ 0 \\ 1 \\ \end{vmatrix}$	$\begin{vmatrix} 0 \\ 0 \\ 0 \\ 0 \\ 1 \\ \end{vmatrix}$

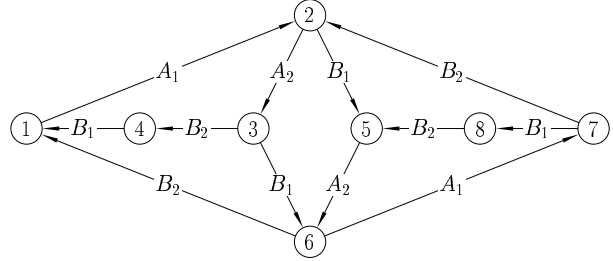
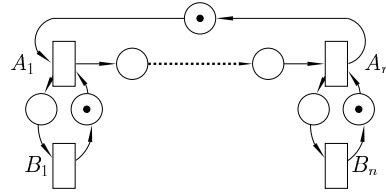
$\vec{0} = \vec{A} + \vec{B} + 2\vec{I}, \vec{1} = \vec{B} + \vec{I} + \vec{W}^B, \vec{2} = \vec{W}^A + \vec{W}^B, \text{etc ...}$

ou 0 : A B idle*2 , 1 : B WaitB idle , 2 : WaitA WaitB , 3 : A WaitA idle



- Le graphe des marquages est fini (4 états) \mapsto *réseau borné*
- Le réseau (son graphe de marquages) admet la séquence infinie $(OqpA.OqpAB)^\omega$ \mapsto *réseau infiniment actif*
- La séquence $OqpA.OqpAB.OqpB.OqpBA$ est possible à partir de 0. Toutes les transitions du réseau sont possiblement sensibilisées \mapsto *réseau quasi-vivant*
- La séquence $OqpA.OqpB$ conduit à un marquage mort \mapsto *réseau bloquant*
- Il n'est pas toujours possible de revenir à l'état initial \mapsto *réseau non réinitialisable*

pb: n sites ($S_k : k \in [1, n]$) exécutent cycliquement A_k et B_k . Un "ordonnanceur" donne la main cycliquement à chacun des sites.

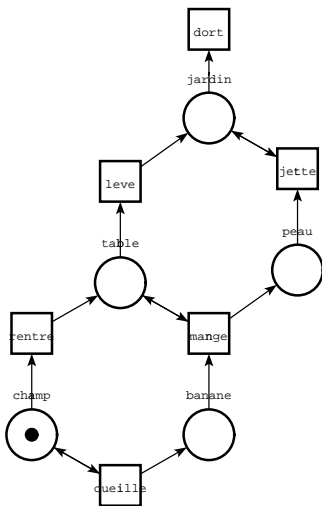


Borné, Propre, Vivant
 Explosion Combinatoire: $n \times 2^n$ états et $(n^2 + n) \times 2^{n-1}$ arcs

3.5.4 La vie d'un planteur de bananes

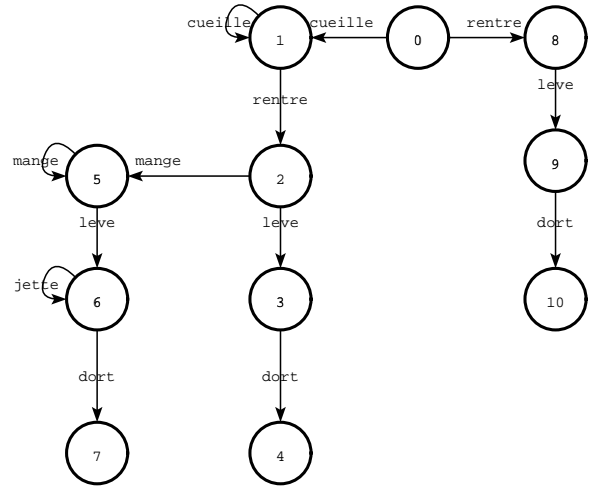
(S. Haddad [Diaz 01]) Le planteur est initialement au champ où il cueille des bananes (en quantité supposé infinie). Il cesse son travail et se met à table pour manger quelques bananes. A la fin du repas, il passe au jardin et jette quelques unes des peaux de bananes mangées. Il part ensuite dormir.

Réseau Associé



Réseau Bloquant non borné !
 Impossible de construire le graphe des marquages.

Différentes journées du planteur



Comment arriver à synthétiser cette information ?

Monoïde E^* (Etoile de Kleene)

$\langle E, \cdot \rangle$ une loi de composition interne et associative
 et ϵ l'élément neutre pour \cdot .

$$E^* = \bigcup_{n \geq 0} E^n \text{ et } E^+ = \bigcup_{n > 0} E^n$$

où $E^0 = \{\epsilon\}$ et $E^k = \{e \cdot \sigma \mid e \in E \text{ et } \sigma \in E^{k-1}\}$

$$E = \{e_1, e_2\}$$

$$E^1 = E, E^2 = \{e_1 \cdot e_1, e_1 \cdot e_2, e_2 \cdot e_1, e_2 \cdot e_2\} \dots$$

NB: E^* est infini dès que $E \neq \emptyset$

Langage Rationnel Tout langage obtenu à partir des langages singletons (à un seul mot) par un nombre fini d'unions, de produits et d'étoiles.

Exemple: $\{a\}^* \{b\} \cdot \{b\} \cdot (\{a\} \cup \{b\})^*$ dénoté par $a^* b \cdot b (a + b)^*$

Expression rationnelle (*lettre*, \cdot , $+$, $*$) (cf egrep/sed, Tcl/Tk, Perl ...)

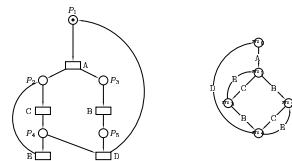
Par analogie, on peut définir un Langage associé à un Rdp

$$L(R, m_0) = \{\omega \in T^* : m_0 \xrightarrow{\omega}\}$$

"Langage associé à un RdP est non rationnel"

4.1 N est sans blocage

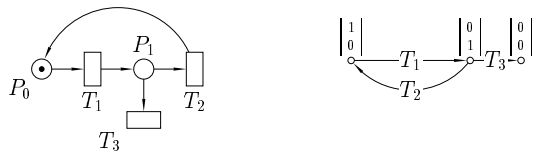
$\forall m \in G(R, m_0), \exists t \in T : m \ll t \succ$



Plus petit réseau sans blocage

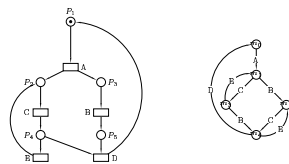


Réseau avec un état de blocage



4.2 N est Réinitialisable (propre)

$\forall m \in G(R, m_0), \exists \omega \in T^+ : m \ll \omega \succ m_0$

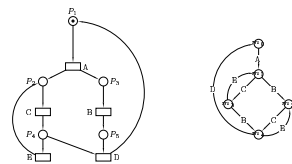


Plus petit réseau réinitialisable (propre)



4.3 N est Quasi-Vivant

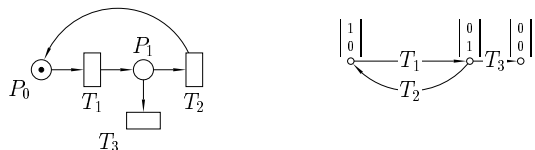
$\forall t \in T, \exists m \in G(R, m_0) : m \ll t \succ$



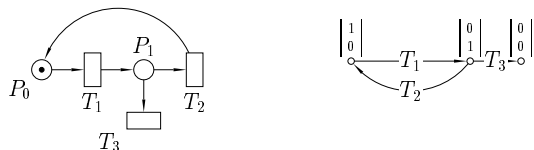
Plus petit réseau quasi-vivant

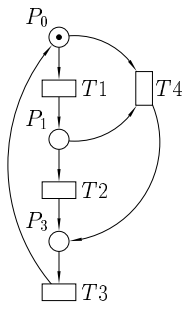


Réseau non réinitialisable

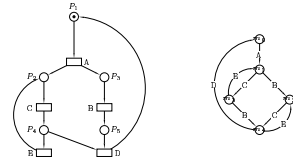


Réseau quasi-vivant

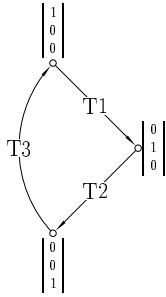




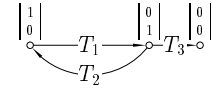
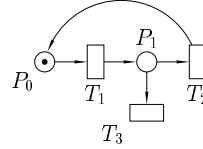
$$\forall m \in G(R, m_0), \forall t \in T, \exists \omega \in T^* : m[\omega.t >$$



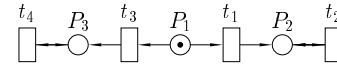
Plus petit réseau vivant



Réseau quasi-vivant et non vivant



Réseau non bloquant sans aucune transition vivante

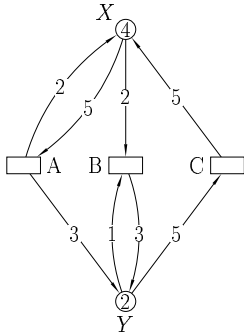


$$L(R, m_0) = (T1.T2.T3)^*$$

33

34

4.4.1 Vivant et non propre



4.5 Relations entre les propriétés

Réinitialisable \Rightarrow Sans blocage

Vivant \Rightarrow Sans blocage

Réinitialisable $\not\Rightarrow$ Vivant

Réinitialisable
+
Quasi-Vivant \Rightarrow Vivant

$$L(R, m_0) = bbc.(abc)^*.b.(bca)^*$$

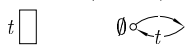
35

36

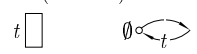
$\langle R, m_0 \rangle$ est infiment actif ssi $\exists \sigma \in T^\omega \cap L(R, m_0)$

$\exists b \in IN : \forall m \in G(R, m_0), \forall p \in P : m(p) \leq b$

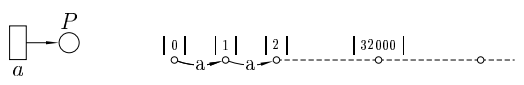
Plus petit réseau infiniment actif ($L = t^\omega$)



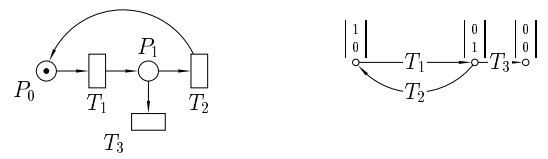
Plus petit réseau borné ($L = t^*$)



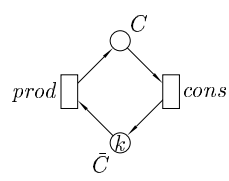
Plus petit réseau non borné ($L = a^*$)



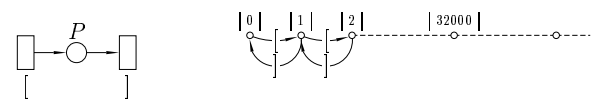
Réseau bloquant infiniment actif ($L = (T_1, T_2)^\omega$)



Réseau k-Borné

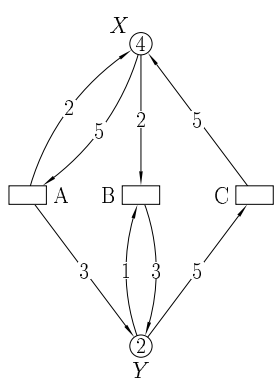


Non borné et à langage non rationnel

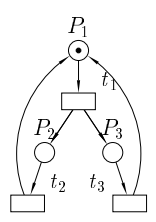


(Langage de Dick: expressions bien parenthésées)

Réseau 6-Borné

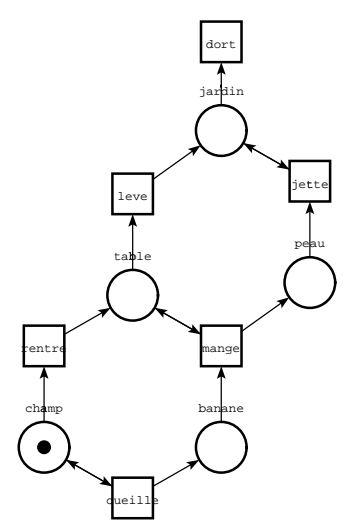


Réseau non borné sans aucune place bornée



4.7.1 Borné versus Bloquage

Réseau Planteur



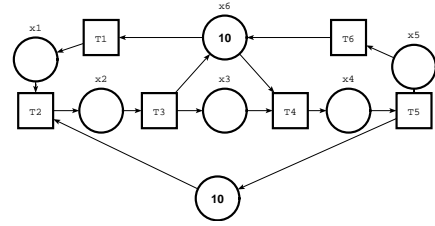
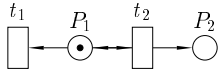
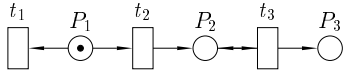
Propriété: Non Borné \Rightarrow Infiniment Actif (réciproque fausse)

5.1 Piscine

pb: Une piscine comporte c cabines pour se changer et p paniers pour déposer ses vêtements.

- On n'entre dans le bassin que si une cabine est libre. On attends un panier pour se changer et déposer ses vêtements. On libère la cabine et on pénètre dans le bassin.

- On ne quitte le bassin que si une cabine est libre. On se change et on restitue cabine et panier. On quitte la piscine.



Légende des transitions

- T1: le client entre à la piscine
(si \exists cabine libre (x6))
- T2: le client se déshabille
(si \exists panier libre (x7))
- T3: le client pénètre dans le bassin
(et restitue la cabine (x6))
- T4: le client quitte le bassin
(si \exists cabine libre (x6))
- T5: le client s'habille
(et restitue le panier (x7))
- T6: le client quitte la piscine.

Légende des places

- x1: client en attente d'un panier
- x2: client se déshabille
- x3: client dans le bassin
- x4: client s'habille
- x5: client habillé prêt à sortir
- x6: Compteur de cabines libres
- x7: Compteur de paniers libres

41

42

Cas où $c = p = 2$: Scénario menant à un blocage

2 clients pénètrent dans la piscine (T1 puis T1)
plus de cabine

les 2 clients se déshabillent (T2 puis T2)
plus de panier

L'un des clients en maillot pénètre dans le bassin (T3)
un cabine libre

Un 3^{ème} client pénètre dans la piscine (T1)
plus de cabine

Le second client en maillot pénètre dans le bassin (T3)
un cabine libre

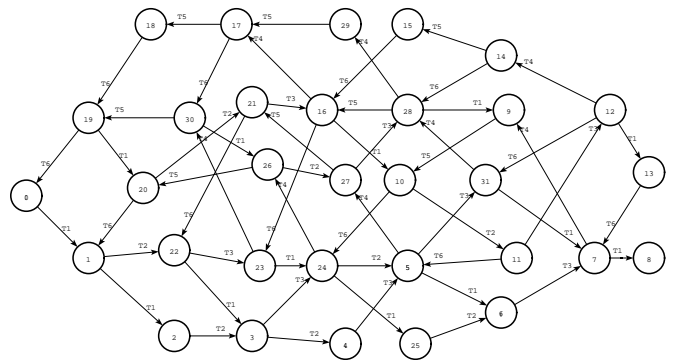
Un 3^{ème} client pénètre dans la piscine (T1)
plus de cabine

Bilan: 4 clients: 2 en attente et 2 dans le bassin
Plus de cabine, plus de panier

Graphe des marquages pour $c = p = 2$

Taille: 32 marquages, 57 transitions

Blocage: 8 : x1(2) x3(2)



Pour $n = k = 10 \mapsto 7006$ marquages, 28885 transitions

Pour $n = k = 15 \mapsto 38759$ marquages 178703 transitions

Marquages	Marquages
0 : x6*2 x7*2	0 \mapsto T1/1
1 : x1 x6 x7*2	1 \mapsto T1/2
2 : x1*2 x7*2	2 \mapsto T2/3
3 : x1 x2 x7	3 \mapsto T2/4
4 : x2*2	4 \mapsto T3/5
5 : x2 x3 x6	5 \mapsto T1/6
6 : x1 x2 x3	6 \mapsto T3/7
7 : x1 x3*2 x6	7 \mapsto T1/8
8 : x1*2 x3*2	8 \mapsto

43

44

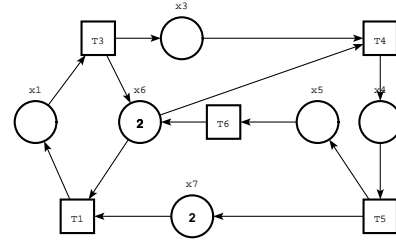
remarque: Le réseau est bloqué pour tout marquage vérifiant $x_6 = x_7 = 0$
 où x_6 : compteur de cabines et x_7 : compteur de paniers

On n'entre dans la piscine que si une cabine et un panier sont libres.

Si $p < c$

On considère la séquence $T_1^c.T_2^p$

	T_1^c	T_2^p
(x6) cabines	0	0
(x7) paniers	p	0



Si $c = p$

On considère la séquence $T_1^c.T_2^c.T_3^c.T_1^c$

	T_1^c	T_2^c	T_3^c	T_1^c
(x6) cabines	0	0	c	0
(x7) paniers	c	0	0	0

Si $c < p$

On considère la séquence $T_1^c.T_2^c.T_3^c.T_1^c.T_2^{p-c}$

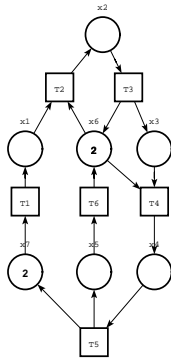
	T_1^c	T_2^c	T_3^c	T_1^c	T_2^{p-c}
(x6) cabines	0	0	c	0	0
(x7) paniers	c	p-c	p-c	p-c	0

Pour $c = p = 2 \mapsto 19$ marquages, 33 transitions

Borné, Propre, Vivant

Une autre solution

On n'entre dans la piscine que si un panier est libre.

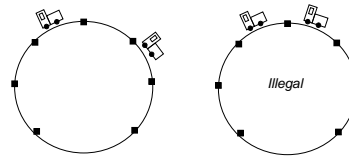


Pour $c = p = 2 \mapsto 32$ marquages, 62 transitions

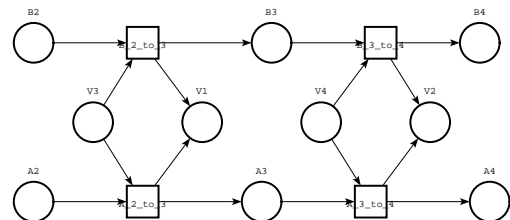
Borné, Propre, Vivant

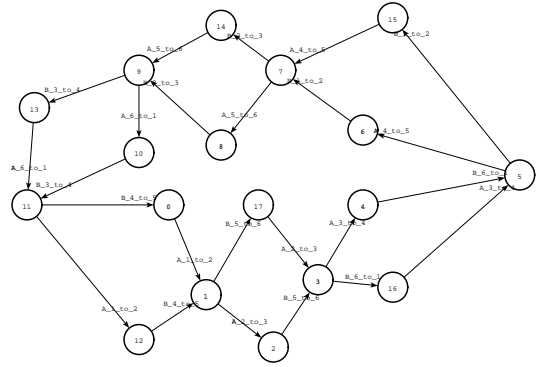
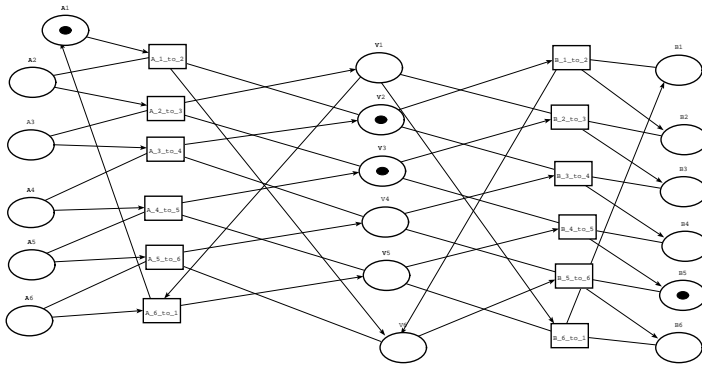
5.2 Trains de Genrich

pb: n (2) trains circulent (dans le même sens) sur une voie ferrée circulaire. La voie est découpé en sections. Par mesure de sécurité, il doit y avoir une section libre entre deux trains.



Simplification: un bus de trains





L'anneau de trains en textuel

```

net {trains 6}
tr A_2_to_3 A2 V3 -> A3 V1
tr B_2_to_3 B2 V3 -> B3 V1
tr A_3_to_4 A3 V4 -> A4 V2
tr B_3_to_4 B3 V4 -> B4 V2
tr A_4_to_5 A4 V5 -> A5 V3
tr B_4_to_5 B4 V5 -> B5 V3
tr A_5_to_6 A5 V6 -> A6 V4
tr B_5_to_6 B5 V6 -> B6 V4
tr A_6_to_1 A6 V1 -> A1 V5
tr B_6_to_1 B6 V1 -> B1 V5
tr A_1_to_2 A1 V2 -> A2 V6
tr B_1_to_2 B1 V2 -> B2 V6
    
```

Le script pour le générer

```

#!/bin/sh
# \
exec tclsh "$0" -- "$@"
# script Tcl/TK pour generer le reseau des trains
proc main {} {
    global argv
    if {"" == [set n [lindex $argv 1]]} {set n 4}
    puts "net \{trains $n\}"
    for {set i 2} {$i < $n} {incr i} {
        puts "tr A_${i}_to_${expr $i + 1} A${i} V[expr $i + 1] -> A[expr $i + 1] V[expr $i - 1]"
        puts "tr B_${i}_to_${expr $i + 1} B${i} V[expr $i + 1] -> B[expr $i + 1] V[expr $i - 1]"
    }
    puts "tr A_${n}_to_1 A${n} V1 -> A1 V[expr $n - 1]"
    puts "tr A_1_to_2 A1 V2 -> A2 V${n}"
    puts "tr B_${n}_to_1 B${n} V1 -> B1 V[expr $n - 1]"
    puts "tr B_1_to_2 B1 V2 -> B2 V${n}"
}
main
    
```

5.3 Une histoire de pont

Un groupe de 4 personnes (A,B,C,D) se situe sur la rive gauche d'un fleuve et doit se rendre sur la rive droite.

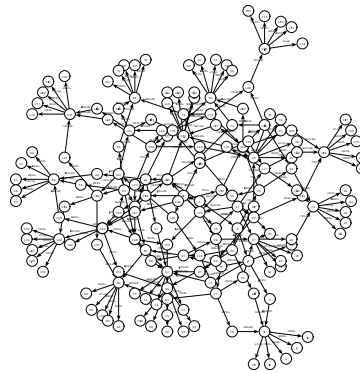
Pour ce faire, ils doivent emprunter un pont mal éclairé qui ne peut supporter qu'une charge de deux personnes. Le groupe dispose d'une seule lampe de poche. Chaque traversée du pont nécessite la possession de la lampe. Il est donc nécessaire de ramener la lampe de l'autre coté pour permettre une nouvelle traversée.

Les 4 personnes marchent à une vitesse différente. Les temps de traversée pour chacun des individus est respectivement de 10 min pour A, 5 min pour B, 2 min pour C et 1 min pour D.

Quel est le temps minimal pour faire passer les 4 personnes sur la rive droite ?

Solution:

- Passage de C et D 2 min
- Retour de C 4 min
- Passage de A et B 14 min
- Retour de D 15 min
- Passage de C et D 17 min



Analyse

Tous les états de blocage marquent la place *FIN*

⇒ Les états de blocage correspondent à la fin du "calcul"

Une analyse des "états terminaux" permet de récupérer les ≠ temps de "transit"

Temps d'exécution possibles: 17, 19, 20, 21, 23, 24, 26,
27, 30, 33, 34, 36, 37, 40, 50

Une mauvaise solution

principe: Chaque transition représente le passage de gauche à droite de deux personnes et le retour à gauche de l'une d'entre-elles. Plus besoin de matérialiser la lampe.

nb: XYX matérialise le passage de gauche à droite de X et de Y et le retour à gauche de X.

Le même en textuel (plus clair)

```
tr AB_A Ag Bg -> Ag Bd Temps*20
tr AB_B Ag Bg -> Ad Bg Temps*15
tr AC_A Ag Cg -> Ag Cd Temps*20
tr AC_C Ag Cg -> Ad Cg Temps*12
tr AD_A Ag Dg -> Ag Dd Temps*20
tr AD_D Ag Dg -> Ad Dg Temps*11
tr BC_B Bg Cg -> Bg Cd Temps*10
tr BC_C Bg Cg -> Bd Cg Temps*7
tr BD_B Bg Dg -> Bg Dd Temps*10
tr BD_D Bg Dg -> Bd Dg Temps*6
tr CD_C Cg Dg -> Cg Dd Temps*4
tr CD_D Cg Dg -> Cd Dg Temps*3
tr stopA Ag Bd Cd Dd -> fin
tr stopB Ad Bg Cd Dd -> fin
tr stopC Ad Bd Cg Dd -> fin
tr stopD Ad Bd Cd Dg -> fin

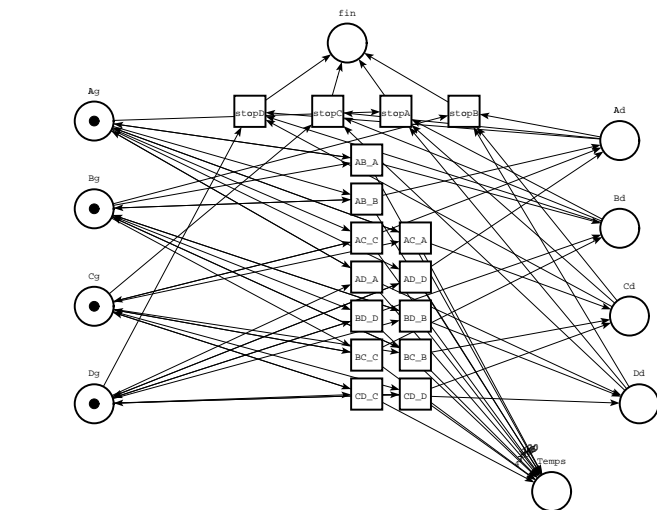
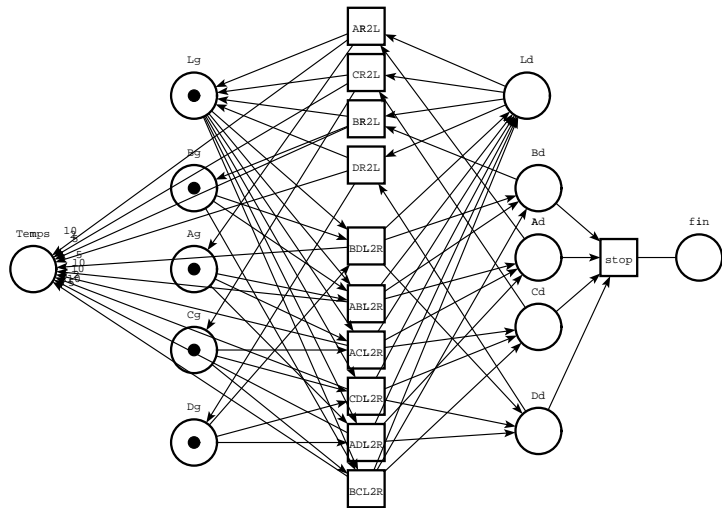
pl Ag (1)
pl Bg (1)
pl Cg (1)
pl Dg (1)
```

Analyse

Tous les états de blocage marquent la place *FIN*

Plus petit temps d'exécution possible: 19 !!

Il manque donc des solutions !



• **Séquentialité** *Dépendance causale*

• **Concurrence** *Indépendance causale*

• **Non-déterminisme** *Une cause peut avoir plusieurs effets \neq*

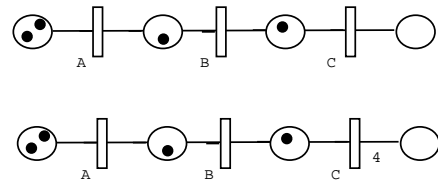
• **Synchronisation** *Plusieurs causes doivent s'être produites avant que l'effet puisse avoir lieu*

• **Compétition**

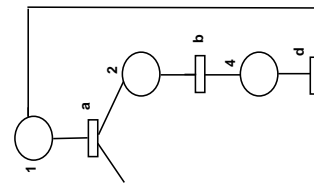
• **Communication** *Transfert d'informations*

Processus Séquentiels:

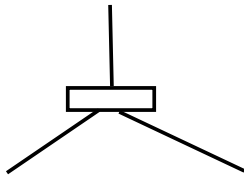
Plusieurs processus qui exécutent le même code (dans un état d'exécution possiblement différent)



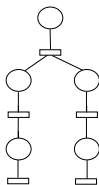
Répétition



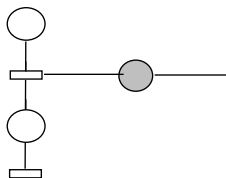
6.2 Fork



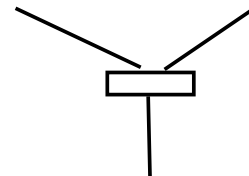
Création de Processus, Lancement de tâches en //



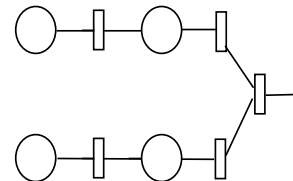
Communication: Envoi de Messages



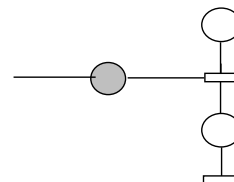
6.3 Join



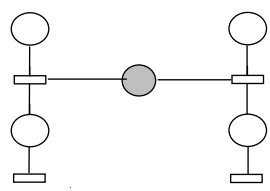
Synchronisation



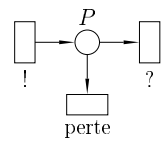
Communication: Réception de Messages



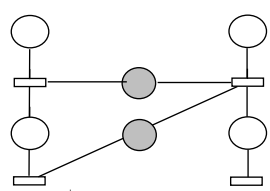
Appel/Réponse



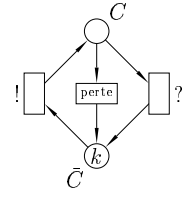
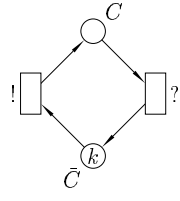
Avec Perte et Sans contrôle de Flux



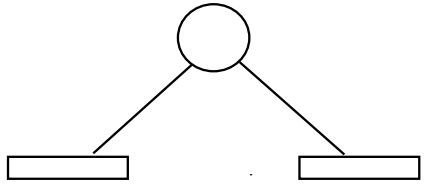
Variante



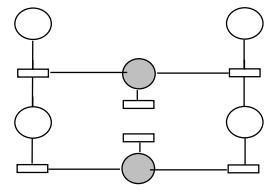
Avec contrôle de Flux



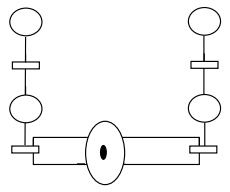
6.5 Choix



Non-Déterminisme



Conflit



6.6 Conflit & Indépendance

Conflit Structurel

t_1 et t_2 sont en conflit structurel ssi
 $\exists p \in P : Pre(p, t_1) \times Pre(p, t_2) \neq 0$

Conflit Effectif

t_1 et t_2 sont en conflit effectif pour un marquage M ssi

- (1) t_1 et t_2 sont en conflit structurel
- (2) $M[t_1 > \& M[t_2 >$
- (3) $\exists p : M(P) < Pre(p, t_1) + Pre(p, t_2)$

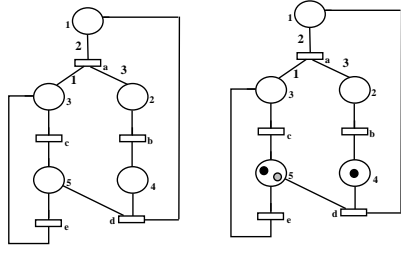
Indépendance Structurelle

t_1 et t_2 sont structurellement indépendantes ssi
 $\forall p \in P : Pre(p, t_1) \times Pre(p, t_2) = 0$

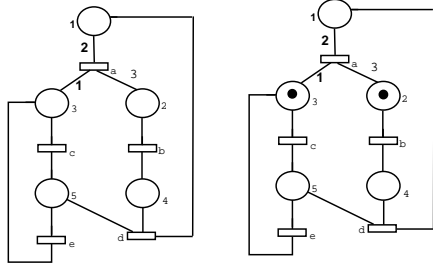
Indépendance Effective

t_1 et t_2 sont effectivement indépendantes pour un marquage M ssi

- (1) t_1 et t_2 sont structurellement indépendantes
- (2) $M[t_1 > \& M[t_2 >$



Structurel Effectif ●
Non-Effectif ○●



Structurelle Effective

7.1 Matrices d'un réseau

Réseau est défini via deux matrices: $Pre, Post : P \times T \mapsto IN$

\mapsto **Matrice d'Incidence** $C : P \times T \mapsto Z$

$C = Post - Pre$
 $(\forall p \in P, \forall t \in T : C(p, t) = Post(p, t) - Pre(p, t))$

Post	a	b	c	d	e	Pre	a	b	c	d	e	C	a	b	c	d	e
1	0	0	0	1	0	1	1	0	0	0	0	1	-1	0	0	1	0
2	1	0	0	0	0	2	0	1	0	0	0	2	1	-1	0	0	0
3	1	0	0	0	1	3	0	0	1	0	0	3	1	0	-1	0	1
4	0	1	0	0	0	4	0	0	0	1	0	4	0	1	0	-1	0
5	0	0	1	0	0	5	0	0	0	1	1	5	0	0	1	-1	-1

7.2 Réseau est Pur

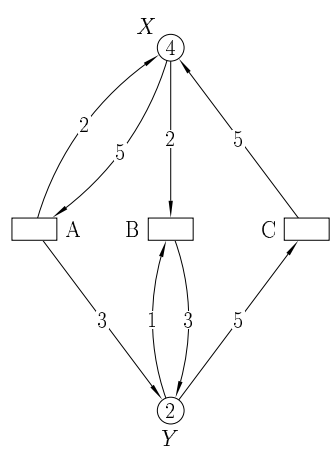
$\forall p \in P, \forall t \in T : Pre(p, t) \times Post(p, t) = 0$

Propriété des réseaux Purs $C \leftrightarrow Pre, Post$

$Pre(p, t) = - \text{Max}(0, - C(p, t))$

$Post(p, t) = \text{Max}(0, C(p, t))$

Exemple



7.3 Image commutative d'une séquence de transitions

$\bar{\sigma} : T^* \mapsto IN^t$ définie par $\bar{\sigma}(t) = |\sigma|_t$

où $|\cdot| : T^* \times T \mapsto IN$ est définie par

$|\epsilon|_t = 0$ et $|u.\sigma|_t = \begin{cases} 1 + |\sigma|_t & \text{si } u = t \\ |\sigma|_t & \text{sinon} \end{cases}$

Exemple $T = \{t1, t2, t3, t4, t5\}$

$\sigma_1 = t1.t2.t2.t3.t5$

$|\sigma_1|_{t1} = |\sigma_1|_{t3} = |\sigma_1|_{t5} = 1,$
 $|\sigma_1|_{t2} = 2,$
 $|\sigma_1|_{t4} = 0$

$\bar{\sigma}_1 = \begin{pmatrix} 1 \\ 2 \\ 1 \\ 0 \\ 1 \end{pmatrix}$

$\sigma_2 = t4.t2.t1.t3.t5$

$|\sigma_2|_t = 1 \quad \forall t \in T$

$\bar{\sigma}_2 = \begin{pmatrix} 1 \\ 1 \\ 1 \\ 1 \\ 1 \end{pmatrix}$

$\sigma_3 = t5.t3.t2.t1.t2$

$|\sigma_3|_{t1} = |\sigma_3|_{t3} = |\sigma_3|_{t5} = 1,$
 $|\sigma_3|_{t2} = 2,$
 $|\sigma_3|_{t4} = 0$

$\bar{\sigma}_3 = \begin{pmatrix} 1 \\ 2 \\ 1 \\ 0 \\ 1 \end{pmatrix}$

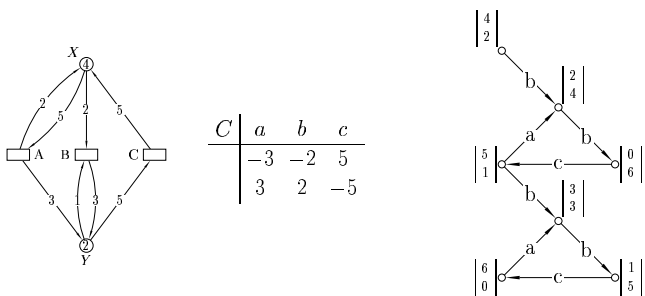
Pre	a	b	c	Post	a	b	c	C	a	b	c
5	2	0	2	0	5	-3	-2	5			
0	1	5	3	3	0	3	2	-5			

NB $\bar{\sigma}$ n'est pas injective ($\sigma_3 \neq \sigma_1$ ET $\bar{\sigma}_3 = \bar{\sigma}_1$)

Soient $m_1, m_2 \in AR(R, m_0), \sigma \in T^*$

Si $m_1 [\sigma > m_2$ **Alors** $m_2 = m_1 + C.\bar{\sigma}$

Preuve: par récurrence sur $|\sigma|$



La Réciproque est **FAUSSE** car

- (1) on travaille avec $\bar{\sigma}$ et non σ
- (2) on raisonne avec C et non avec Pre & $Post$

Si $S = BBCA$ alors $\bar{S} = \begin{vmatrix} 1 \\ 2 \\ 1 \end{vmatrix}$ et $C.\bar{S} = \begin{vmatrix} -3 & -2 & 5 \\ 3 & 2 & -5 \end{vmatrix} \otimes \begin{vmatrix} 1 \\ 2 \\ 1 \end{vmatrix} = \begin{vmatrix} -2 \\ 2 \end{vmatrix}$

Corollaire

Soient $m_1, m_2 \in A(R, m_0)$ et $\sigma \in T^*$
tels que $m_2 = m_1 + C.\bar{\sigma}$

Si $\exists p \in P : m_2(p) < 0$ Alors NON ($m_1 [\sigma >$)

Rappel: **Si** $m_1 [\sigma > m_2$ **Alors** $m_2 = m_1 + C.\bar{\sigma}$

Ici $\begin{vmatrix} 4 \\ 2 \end{vmatrix} [BBCA > M'$ avec $M' = \begin{vmatrix} 4 \\ 2 \end{vmatrix} + \begin{vmatrix} -2 \\ 2 \end{vmatrix} = \begin{vmatrix} 2 \\ 4 \end{vmatrix}$

De même, $\begin{vmatrix} 5 \\ 1 \end{vmatrix} [BBCA > M''$ avec $M'' = \begin{vmatrix} 5 \\ 1 \end{vmatrix} + \begin{vmatrix} -2 \\ 2 \end{vmatrix} = \begin{vmatrix} 3 \\ 3 \end{vmatrix}$

8 Algorithme de Décision de la bornitude

Problème: Etre capable de savoir si un réseau de Petri est borné ou non.

nb: le "pseudo"-algorithme de construction de graphe des marquages n'apporte de réponse que si le réseau est borné

Grandes étapes pour y arriver

Propriété de Monotonie

Caractérisation des réseaux infiniment Actifs

Caractérisation des réseaux non Bornés

Algorithme de Décision

- * Arbre de Couverture
- * Graphe de Couverture

8.1 Propriété de Monotonie

Règles de Sensibilisation et de Tir (rappels)

• Une transition t est sensibilisée pour un marquage M
 $M [t >$ ssi $\forall p \in P : M(p) \geq Pre(p, t)$

• Soit t une transition et M un marquage tel que $M [t >$
alors $M [t > M'$

$\forall p \in P : M'(p) = M(p) - Pre(p, t) + Post(p, t)$
(ou aussi $M' = M - Pre(., t) + Post(., t)$)

Remarques:

- $Pre(., t)$ est le marquage minimum permettant de tirer t
- $Post(., t)$ est le marquage minimum que l'on peut atteindre après le tir de t
- L'évolution des marquages est indépendante du marquage de départ $M' - M = Post(., t) - Pre(., t)$

• $\forall M, M' \in G(R, m_0)$ tels que $M' \geq M$

$$\forall t \in T : M [t > \Rightarrow M' [t >$$

$$\forall \sigma \in T^* : M [\sigma > \Rightarrow M' [\sigma >$$

(par récurrence sur $|\sigma|$)

• $\forall M_1, M_2 \in G(R, m_0), \forall \sigma \in T^* : \text{tels que } M_1 [\sigma > M_2$

Si $M'_1 > M_1$ alors $M'_1 [\sigma > M'_2$ avec

$$M'_2 - M'_1 = M_2 - M_1 = C.\bar{\sigma}$$

$$M'_1 - M_1 = M'_2 - M_2$$

Corollaire (monotonie)

$$\forall m_0, m'_0 \in IN^P : m_0 < m'_0 \Rightarrow \begin{cases} |A(R, m_0)| \leq |A(R, m'_0)| \\ |G(R, m_0)| \leq |G(R, m'_0)| \\ |L(R, m_0)| \leq |L(R, m'_0)| \end{cases}$$

73

$\langle R, m_0 \rangle$ est infiment actif ssi

il existe une séquence infinie $\exists \sigma \in T^\omega \cap L(R, m_0)$

Non borné \Rightarrow Infiment Actif (réciproque fausse)

Séquence Répétitive

Soit $\sigma \in T^*, \sigma$ est Répétitive ssi:

$$\exists M \in G(R, M_0) : M [\sigma > \& M' [\sigma > M'' \Rightarrow M'' [\sigma >$$

$$\Leftrightarrow \begin{cases} \exists v \in T^* : v.\sigma \in L(R, M_0) \\ \forall v \in T^* : v.\sigma \in L(R, M_0) \Rightarrow v.(\sigma)^i \in L(R, M_0) \quad \forall i \geq 0 \end{cases}$$

Caractérisation des séquences répétitives

Soit σ une séquence de **franchissement** pour $\langle R, m_0 \rangle$

$$\exists M \in G(R, m_0) : M [\sigma > \text{ alors } (1) \Leftrightarrow (2) \Leftrightarrow (3)$$

(1) $\exists M, M' \in G(R, m_0) : M [\sigma > M'$ et $M' \geq M$

(2) $\forall M, M' \in G(R, m_0)$ tels que $M [\sigma > M'$ Alors $M' \geq M$

(3) σ est une séquence répétitive

74

8.2.1 Caractérisation des Réseaux Infiment Actifs

Propriété Un réseau $\langle R, m_0 \rangle$ est infiment actif ssi $G(R, m_0)$ possède une séquence répétitive.

\Leftarrow (évident)

$G(R, m_0)$ possède une séquence répétitive σ

$$\equiv_{def} \exists v \in T^*, \forall i \geq 0 : v.\sigma^i \in L(R, M_0)$$

Donc $L(R, M_0)$ possède une séquence infinie

$$\equiv_{def} \langle R, m_0 \rangle \text{ est infiment actif}$$

\Rightarrow (plus subtil)

$$\langle R, m_0 \rangle \text{ est infiment actif} \equiv_{def} \exists \sigma \in T^\omega \cap L(R, m_0)$$

A partir de σ on peut construire $v_\sigma = v_0, v_1, \dots, v_k, \dots$ une suite infinie de marquages

TH: $U = u_0, u_1, \dots, u_k, \dots$ une suite infinie d'éléments $\in IN^m$

Alors on peut extraire de U une sous-suite infinie croissante:

$$u_{i_0} \leq u_{i_1} \leq \dots \leq u_{i_k} \dots$$

$\dots \sigma \mapsto v_\sigma = v_0, v_1, \dots, v_k, \dots$ une suite infinie $\in IN^p$

TH \mapsto sous-suite infinie $u_{i_0} \leq u_{i_1} \leq \dots \leq u_{i_k} \dots$

On considère u_{i_0} et u_{i_1}

Par construction de U ,

$$\exists s_1, s_2 \in T^* : m_0 [s_1 > u_{i_0} \text{ et } u_{i_0} [s_2 > u_{i_1}$$

Comme $u_{i_0} \leq u_{i_1}$, s_2 est une **séquence répétitive**

(cf caractérisation des séquences répétitives)

cqfd (modulo TH)

TH découle de $(\langle IN, \langle \rangle)$ est un bon ordre

$\langle E, \langle \rangle$ est un **Bon Ordre** ssi

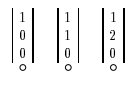
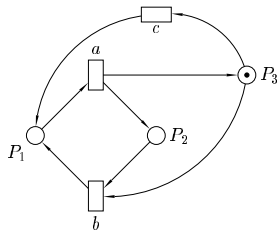
$$\forall P \subset E : P \neq \emptyset \Rightarrow \exists p \in P : \forall p' \in P : p' = p \text{ ou } p < p'$$

75

76

Rappel Réseau $\langle R, m_0 \rangle$ est borné ssi
 $\forall p \in P, \exists k \in \mathbb{N} : \forall m \in G(R, m_0) \quad m(p) \geq k$

Def: Séquence σ est Répétitive croissante pour une place p ssi $\forall m, m' \in G(R, m_0) : m[\sigma > m' \Rightarrow m' \geq m \text{ ET } m'(p) > m(p)$



Un réseau $\langle R, m_0 \rangle$ est **Non borné** ssi
 \exists séquence σ répétitive croissante pour une place p
 et un marquage $m \in G(R, m_0)$ tel que $m[\sigma >$

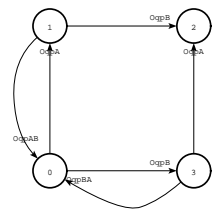
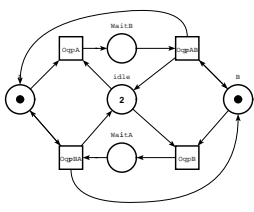
(\Leftarrow) (évident)
 (\Rightarrow)

8.4 Arbre de Couverture

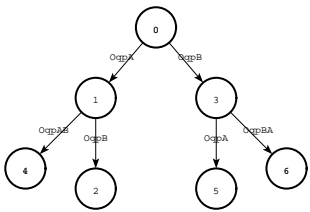
Détecter toutes les places non bornées
 \Updownarrow
 Recherche des séquences répétitives croissantes

 \mapsto 2 aspects: Arbre/Graphe & Couverture

Arbre versus Graphe



0 : A B idle*2, 1 : B WaitB idle, 2 : WaitA WaitB, 3 : A WaitA idle



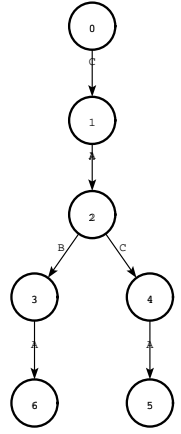
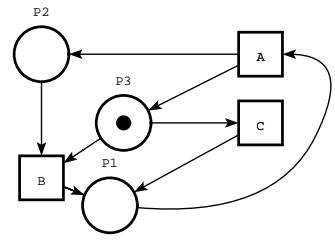
Couverture

$\langle R, m_0 \rangle \mapsto AC(R, m_0)$ (Arbre fini)
 dont l'ensemble des sommets "couvre" $A(R, m_0)$
 (E "couvre" F ssi $\forall f \in F, \exists e \in E : e \geq f$)

IN_ω Complétion de IN

- $IN_\omega = IN \cup \{\omega\}$
 - $\bullet \forall n \in IN : n < \omega$
 - $\bullet n + \omega = \omega + n = \omega$
 - $\bullet \omega - n = \omega$ ($n - \omega$ n'est pas défini)
- On étend de la même manière $+$, $-$, $<$ à IN_ω^p

Au lieu de considérer des marquages dans IN^p ,
 on va considérer des marquages dans IN_ω^p



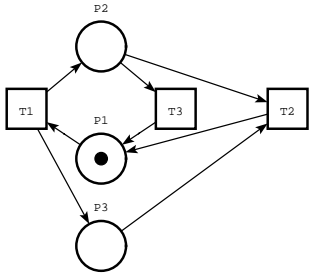
- 0 : P3
- 1 : P1
- 2 : P2*_w P3
- 3 : P1 P2*_w
- 4 : P2*_w P3
- 5 : P2*_w P3

Soit q un sommet étiqueté par m
 Si q admet un ancêtre p ayant la même étiquette
 Alors q n'a pas de fils.
 Sinon
 Pour chaque transition t sensibilisée en m
 q admet un fils q_t ,
 l'arc reliant q à q_t est étiqueté par t
 chaque sommet q_t est étiqueté par $\Omega(m_t)$
 avec m_t tel que $m[t > m_t$

Définition de $\Omega(m_t)(p)$

Pour chaque place $p \in P$
 Si q_t admet un ancêtre a étiqueté par m_a
 avec $m_a \geq m_t$ et $m_a(p) > m_t(p)$
 Alors $\Omega(m_t)(p) = \infty$ Sinon $\Omega(m_t)(p) = m_t(p)$

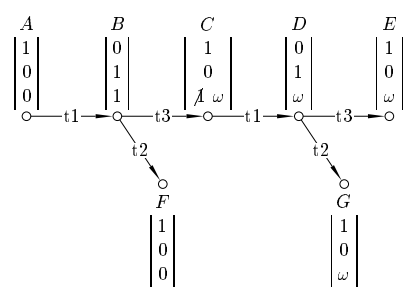
8.5.1 Exemple



8.5.2 Propriétés de l'arbre de Couverture

[Karp-Miller 69]

- $\forall \langle R, m_0 \rangle : AC(R, m_0)$ est fini
- Un réseau $\langle R, m_0 \rangle$ est **non borné** ssi
 $\exists q \in AC(R, m_0), \exists p \in P$ tel que $q(p) = \omega$
- Pour un réseau $\langle R, m_0 \rangle$, une place p est **non bornée**
 ssi $\exists q \in AC(R, m_0)$ tel que $q(p) = \omega$
- Pour un réseau $\langle R, m_0 \rangle$, une place bornée p
 a pour borne $Max(\{q(p) : q \in AC(R, m_0)\})$



rappel: $AC(R, m_0) = \langle S, \rightarrow, L \rangle$ avec $S = IN \times A(R, m_0)$

Soit $\equiv \subset S \times S$ défini par $(n, m) \equiv (n', m')$ ssi $m = m'$

\equiv est une relation d'équivalence

$$GC(R, m_0) = AC(R, m_0) / \equiv$$

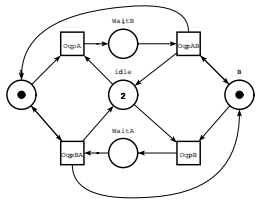
$$GC(R, m_0) = \langle S / \equiv, \rightarrow_{\equiv}, L \rangle$$

où S / \equiv l'ensemble quotient de S par \equiv

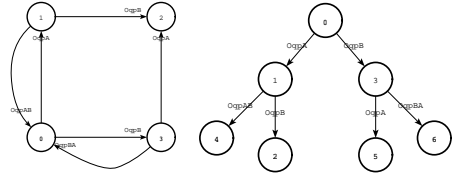
et \rightarrow_{\equiv} , la plus petite relation vérifiant:

Si $s \rightarrow q$ avec $s \in s_{\equiv}$ et $q \in q_{\equiv}$ Alors $s_{\equiv} \rightarrow_{\equiv} q_{\equiv}$

Cas des réseaux Bornés



Grphe de couverture = Grphe des marquages



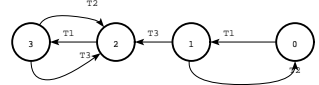
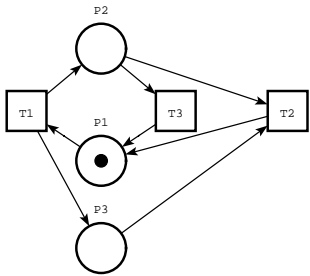
0 : A B idle*2 , 1 : B WaitB idle , 2 : WaitA WaitB , 3 : A WaitA idle

8.6.1 Propriétés du graphe de couverture

- Si $\langle R, m_0 \rangle$ est borné alors $GC(R, m_0) = G(R, m_0)$
- Si $m_0[x > m]$ alors dans $GC(R, m_0)$ aussi $m_0 \xrightarrow{x} m$

Réciproque fausse: L'introduction des ω -marquages lors de la construction de l'arbre de couverture constitue une majoration un peu brutale qui se traduit par l'apparition sur le graphe de couverture de séquences de franchissement qui n'existent pas en réalité.

Cas général



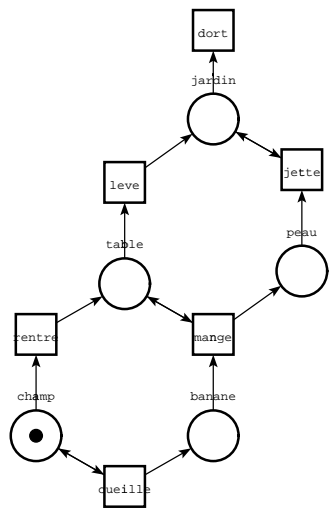
A	B	C	D	E
1	0	1	0	1
0	1	0	1	0
0	1	1	1	1

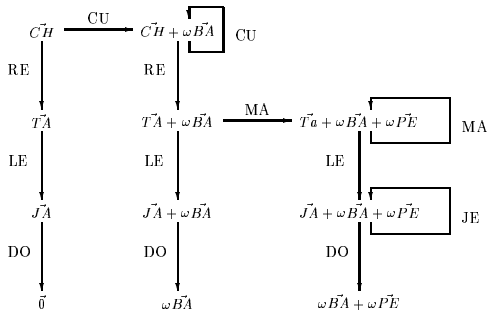
$\xrightarrow{t1}$
 $\xrightarrow{t3}$
 $\xrightarrow{t1}$
 $\xrightarrow{t3}$

F	G
1	1
0	0
0	1

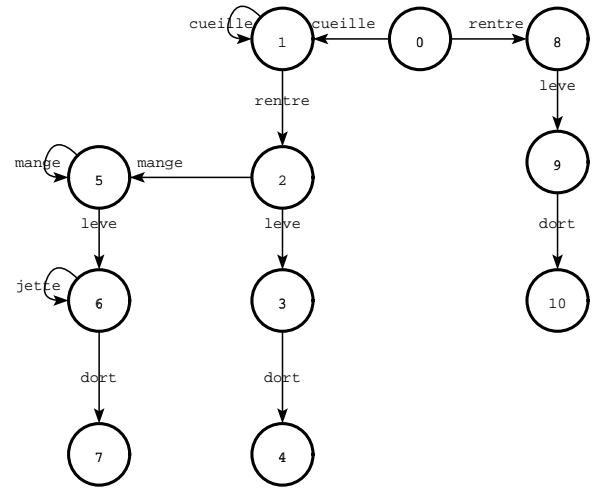
Retour sur le réseau planteur

Réseau Associé





89



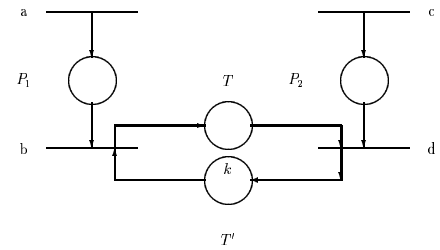
90

La séquence *Cueille.Rentre.Mange.Mange.Mange* existe dans le graphe de couverture sans être pour autant une séquence valide de franchissement : le planteur ne peut manger plus de bananes qu'il en a cueilli.

9 Analyse Structurelle

9.1 Intuition

Producteur/Consommateur



On considère les places T et T'

- a et c ne sont pas connectées aux places T et T'

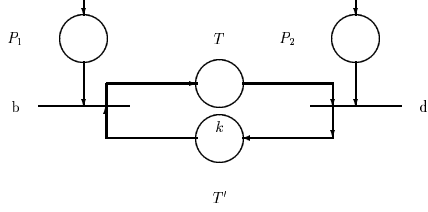
a et b n'affectent pas les marquages de T et de T'

Pour $x \in \{a, c\}$, Si $m[x] > m'[x]$ alors

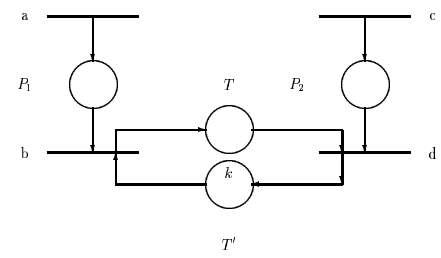
$$m'(T) = m(T) \text{ et } m'(T') = m(T')$$

91

92



- Si $m[b > m']$ alors $m'(T) = m(T) + 1$ et $m'(T') = m(T') - 1$
- Si $m[d > m']$ alors $m'(T) = m(T) - 1$ et $m'(T') = m(T') + 1$



- On considère a et b et m tel que $m[a.b > m']$

$$\begin{vmatrix} P_1 \\ P_2 \\ T \\ T' \end{vmatrix} \xrightarrow{a} \begin{vmatrix} P_1 + 1 \\ P_2 \\ T \\ T' \end{vmatrix} \xrightarrow{b} \begin{vmatrix} (P_1 + 1) - 1 \\ P_2 \\ T + 1 \\ T' - 1 \end{vmatrix} = \begin{vmatrix} P_1 \\ P_2 \\ T + 1 \\ T' - 1 \end{vmatrix}$$

Remarque pour $t \in \{b, d\}$
Si $m[t > m']$ alors $m(T) + m(T') = m'(T) + m'(T')$

Bilan

- 1) a ou c laisse $m(T)$ et $m(T')$ invariants
- 2) b ou d laisse la **Somme** $m(T) + m(T')$ invariante

(1) & (2) $\Rightarrow m(T) + m(T')$ est invariante

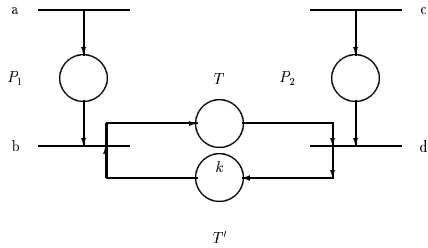
$$\forall m \in G(R, m_0) : m(T) + m(T') = m_0(T) + m_0(T')$$

93

- Pour c et d et m tel que $m[c.d > m']$

$$\begin{vmatrix} P_1 \\ P_2 \\ T \\ T' \end{vmatrix} \xrightarrow{c} \begin{vmatrix} P_1 \\ P_2 + 1 \\ T \\ T' \end{vmatrix} \xrightarrow{d} \begin{vmatrix} P_1 \\ (P_2 + 1) - 1 \\ T - 1 \\ T' + 1 \end{vmatrix} = \begin{vmatrix} P_1 \\ P_2 \\ T - 1 \\ T' + 1 \end{vmatrix}$$

94



9.2 Analyse Structurale (principe)

Exploiter l'équation Fondamentale des RdP

Eq Fond Rdp: Soient $m_1, m_2 \in G(R, m_0), \sigma \in T^*$

$$\underline{\text{Si}} m_1[\sigma > m_2 \text{ Alors } m_2 = m_1 + C.\bar{\sigma}$$

Bilan Si $m[a.b.c.d > m']$ Alors $m = m'$

$$\begin{vmatrix} P_1 \\ P_2 \\ T \\ T' \end{vmatrix} \xrightarrow{a.b.c.d} \begin{vmatrix} (P_1 + 1) - 1 \\ (P_2 + 1) - 1 \\ (T + 1) - 1 \\ (T' - 1) + 1 \end{vmatrix} = \begin{vmatrix} P_1 \\ P_2 \\ T \\ T' \end{vmatrix}$$

Corollaire de l'équation fondamentale:

$$\forall m \in G(R, m_0), \exists \sigma \in T^* m = m_0 + C.\bar{\sigma}$$

Vérification possible

$$m_1[\sigma > m_2 \Rightarrow m_2 = m_1 + C.\bar{\sigma}$$

$$\begin{matrix} C \\ P_1 \\ P_2 \\ T \\ T' \end{matrix} \begin{vmatrix} a & b & c & d \\ 1 & -1 & 0 & 0 \\ 0 & 0 & 1 & -1 \\ 0 & 1 & 0 & -1 \\ 0 & -1 & 0 & -1 \end{vmatrix} \times \begin{vmatrix} 1 \\ 1 \\ 1 \\ 1 \end{vmatrix} = \begin{vmatrix} 0 \\ 0 \\ 0 \\ 0 \end{vmatrix}$$

95

Analyse structurale \equiv "éliminer" $C.\bar{\sigma}$

- "Attaquer" C à gauche : Trouver F telle que $f.C = 0$
 $\mapsto F.m = F.m_0$
- Chercher les σ vérifiant $C.\bar{\sigma} = 0$
 $\mapsto m_0[\sigma > m$ avec $m_0 = m$

96

Soit F telle que $f.C = 0 \iff F.m = F.m_0$ (E)

$$(P = \{p_1, p_2 \dots p_n\})$$

$$\sum_{j=1}^{j=p} f_j \times m(p_j) = \sum_{j=1}^{j=p} f_j \times m_0(p_j) = Cste(m_0) \quad (E)$$

(E) $\Rightarrow \forall i \in [1, p]$

$$f_i \times m(p_i) = Cste(m_0) - \left(\sum_{j \in [1, p] \setminus \{i\}} f_j \times m(p_j) \right)$$

Si $f_i \neq 0$ Alors

$$m(p_i) = 1/f_i \times (Cste(m_0) - \left(\sum_{j \in [1, p] \setminus \{i\}} f_j \times m(p_j) \right))$$

Si de plus $F > 0$ (i.e $\forall i : f_i > 0$)

Alors $m(p_i) \leq Cste(m_0)/f_i$ Et p_i est bornée

97

$B \subseteq P$ est un invariant de Place ssi

$$\exists F \geq 0 \text{ tq } \|F\| = B \text{ et } f.C = 0$$

$$\text{où } \|F\| = \{i \in [1, Card(P)] : F_i \neq 0\}$$

Propriété des Invariants de Place

Si B est un invariant de place, alors toute place p de B est bornée

Réciproque fausse

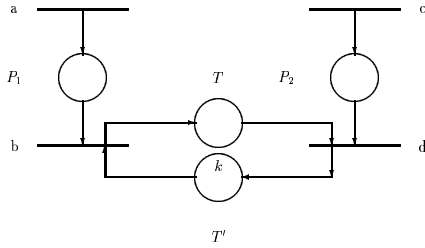
$R = \langle P, T, Pre, Post \rangle$ est Conservatif ssi T est un invariant de Place

Si R est Conservatif alors R est borné

Réciproque fausse

98

Retour sur l'exemple du Producteur/Consommateur



$$\begin{vmatrix} F_{P_1} & F_{P_2} & F_T & F_{T'} \end{vmatrix} \times \begin{vmatrix} 1 & -1 & 0 & 0 \\ 0 & 0 & 1 & -1 \\ 0 & 1 & 0 & -1 \\ 0 & -1 & 0 & -1 \end{vmatrix} = \begin{vmatrix} 0 \\ 0 \\ 0 \\ 0 \end{vmatrix}$$

$$\text{ssi } \begin{vmatrix} F_{P_1} & F_{P_2} & F_T & F_{T'} \end{vmatrix} = \lambda \cdot \begin{vmatrix} 0 & 0 & 1 & 1 \end{vmatrix}$$

Comme F_T & $F_{T'} \neq 0$ on a T et T' bornées

$$\bullet \text{ Si } m_0 = \begin{vmatrix} 0 \\ 0 \\ 0 \\ k \end{vmatrix} \text{ Alors } F.m_0 = \lambda \times k$$

$$F.m = F.m_0 \Leftrightarrow \lambda \times (m(T) + m(T')) = \lambda \times k$$

Enfinement $m(T) \leq K$ & $m(T') \leq K$ ($\forall m \in G(R, m_0)$)

99

9.4 Composantes Répétitives (Invariants de Transition)

Invariant de Transition

$S \subseteq T$ est un invariant de Transition ssi

$$\exists s \in T^* \text{ telle que } \|\sigma\| = S \text{ et } C.\bar{\sigma} = 0$$

$R = \langle P, T, Pre, Post \rangle$ est répétitif ssi T est un invariant de transitions

Si R est vivant et borné est Alors R est répétitif

100

Problème: Lecteurs et écrivains en concurrence pour accéder à une (abstraction) de base de données. Modéliser un arbitre (contrôleur) permettant de synchroniser les lecteurs et les écrivains.

Modèle de la base de données

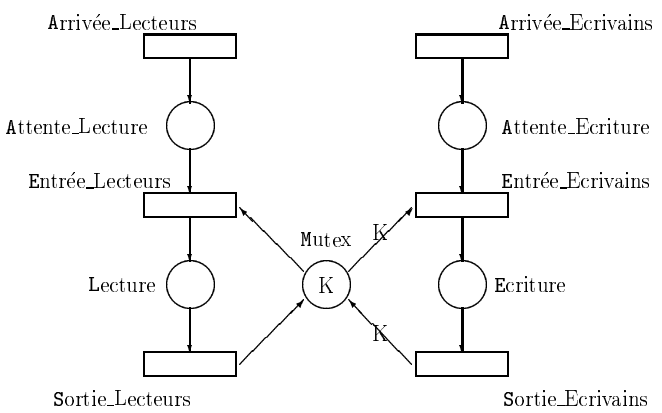
“générique” : entier positif k

Conditions de synchronisation entre lecteurs et écrivains

- C_1 : Pas plus de k lectures simultanées
- C_2 : Pas plus d'un écrivain dans la base
- C_3 : Pas de lecture et d'écriture simultanément dans la base

Autre propriétés:

- Vivacité/“Absence de Famine”: Toute requête (de lecture ou d'écriture) est satisfaite au bout d'un temps fini.
- Maintien de la cohérence des données (si une valeur est lue alors elle correspond à la dernière valeur écrite).



Le système de base de données est constitué par:

- deux salles d'attente: l'une pour les lecteurs (Attente_Lecture) et l'autre pour les écrivains (Attente_Ecriture),
- une salle de lecture (Lecture) et d'une salle d'écriture (Ecriture).

9.5.2 Vérification des propriétés de synchronisation

Reformuler les propriétés de synchronisation déjà exprimées en utilisant les “éléments de langage” fournis par le réseau proposé.

“Composants du réseau”

- partie gauche du réseau décrit le traitement associé aux lecteurs
- partie droite concerne le traitement des écrivains.
- partie centrale (place Mutex) assure la synchronisation entre lecteurs et écrivains.

Modélisation générique:

- la capacité de la salle de lecture est représentée par un paramètre, l'entier positif k .
- k apparaît dans le marquage initial du réseau (place Mutex) et comme valuation des arcs reliant la place Mutex aux transitions Sortie_Lecteurs et Entrée_Lecteurs.

$$\forall m \in A(R, m_0)$$

$$C_1 : m(Lecture) \leq k$$

Pas plus de k lectures simultanées

$$C_2 : m(Ecriture) \leq 1$$

Pas plus d'un écrivain dans la base

$$C_3 : m(Ecriture) \times m(Lecture) = 0$$

Pas de lecture et d'écriture simultanément dans la base

$$(v_1, v_2, v_3, v_4, v_5) \times \begin{pmatrix} 0 & 0 & 1 & -1 & 0 & 0 \\ 0 & 0 & -1 & 1 & -k & k \\ 0 & 0 & 0 & 0 & 1 & -1 \\ 1 & 0 & -1 & 0 & 0 & 0 \\ 0 & 1 & 0 & 0 & -1 & 0 \end{pmatrix} = \begin{pmatrix} 0 \\ 0 \\ 0 \\ 0 \\ 0 \\ 0 \end{pmatrix}$$

Dans ce cas, les P-semiflot s'écrivent sous la forme $v = \lambda.(1, 1, k, 0, 0)$ pour tout entier naturel positif λ

On considère maintenant l'invariant linéaire suivant:

$$\forall m \in A(R, m_0), v^t.m = v^t.m_0$$

En remplaçant dans l'équation précédente m_0 et v par leurs valeurs, on obtient:

$$(1, 1, k, 0, 0). \begin{pmatrix} m(p_1) \\ m(p_2) \\ m(p_3) \\ m(p_4) \\ m(p_5) \end{pmatrix} = (1, 1, n, 0, 0). \begin{pmatrix} 0 \\ k \\ 0 \\ 0 \\ 0 \end{pmatrix} = k$$

Pour compacter les notations qui vont suivre, les transitions et les places ont été renommées.

p_1 : <i>Lecture</i>	t_1 : <i>Arrive_Ecrivains</i>
p_2 : <i>Mutex</i>	t_2 : <i>Arrive_Lecteurs</i>
p_3 : <i>Ecriture</i>	t_3 : <i>Entre_Lecteurs</i>
p_4 : <i>Attente_Lecture</i>	t_4 : <i>Sortie_Lecteurs</i>
p_5 : <i>Attente_Ecriture</i>	t_5 : <i>Entre_Ecrivains</i>
	t_6 : <i>Sortie_Ecrivains</i>

Matrice d'incidence associée au réseau

Comme le modèle est générique, cette matrice sera paramétrée par k .

$$\begin{matrix} & t_1 & t_2 & t_3 & t_4 & t_5 & t_6 \\ p_1 & \begin{pmatrix} 0 & 0 & 1 & -1 & 0 & 0 \end{pmatrix} \\ p_2 & \begin{pmatrix} 0 & 0 & -1 & 1 & -k & k \end{pmatrix} \\ p_3 & \begin{pmatrix} 0 & 0 & 0 & 0 & 1 & -1 \end{pmatrix} \\ p_4 & \begin{pmatrix} 1 & 0 & -1 & 0 & 0 & 0 \end{pmatrix} \\ p_5 & \begin{pmatrix} 0 & 1 & 0 & 0 & -1 & 0 \end{pmatrix} \end{matrix}$$

On obtient donc: $\forall M \in G(R, m_0), m(p_1) + m(p_2) + k \times m(p_3) = n$

C-à-d $m(\text{Lecture}) + m(\text{Mutex}) + k \times m(\text{Ecriture}) = k$

En isolant $m(\text{Lecture})$ dans l'invariant, on obtient:

$$m(\text{Lecture}) = n - (m(\text{Mutex}) + n \times m(\text{Ecriture}))$$

Comme un marquage est une application à valeurs dans les entiers naturels, on en déduit

$$C_1 : m(\text{Lecture}) \leq k$$

$C_2 : m(\text{Ecriture}) \leq 1$ peut être obtenue de façon identique en isolant $m(\text{Ecriture})$ dans l'invariant et en se souvenant que k est strictement positif.

C_3 peut être obtenue en raisonnant par l'absurde.

En prenant la négation de C_3 , on obtient

$$m(\text{Lecture}) > 0 \text{ et } m(\text{Ecriture}) > 0$$

On a donc

$$m(\text{Lecture}) + k \times m(\text{Ecriture}) \geq k + 1$$

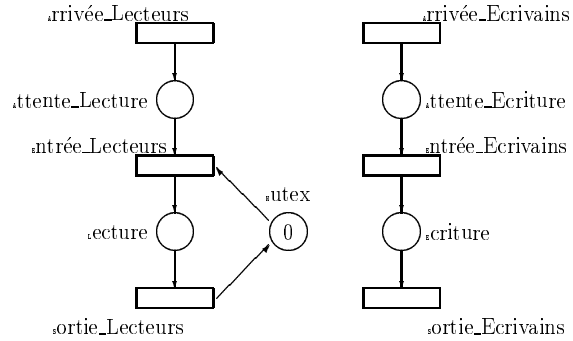
D'un autre coté, l'invariant nous assure que :

$$m(\text{Lecture}) + k \times m(\text{Ecriture}) \leq k$$

Comme $k > 0$, on aboutit ainsi à la contradiction et C_3 est validée.

Cas où $k = 0$

L'analyse structurelle ne permet pas d'assurer C_2 et C_3 .



La place *mutex* n'est plus une pré-condition de la transition *entree_Lecteurs* (l'arc correspondant disparaît car il est valué par 0) et le nombre d'écritures simultanées devient non borné. La lecture devient impossible puisque le marquage initial de la place *mutex* est nul.

Analyse paramétrée

Possibilité de pouvoir travailler avec l'analyse structurelle sur un réseau paramétré.

Les propriétés recherchées ont été établies non pas pour un réseau marqué mais pour toute une famille indexée par $k > 0$ de réseaux marqués.

Une approche exhaustive (construction du graphe d'accessibilité, arbre de couverture de Karp et Miller) n'aurait pu être conduite puisque nous aurions du auparavant fixer une valeur pour le paramètre k .

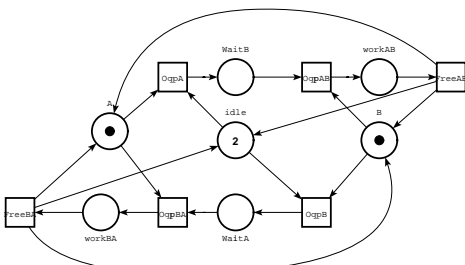
9.6.1 Vivacité/Sûreté

L'analyse structurelle est une approche séduisante pour la vérification des propriétés dites de "Sûreté"
 "Rien de mauvais ne peut arriver"

L'analyse structurelle n'apporte pas de réponse pour la vérification des propriétés dites de "Vivacité"
 "Quelque chose de bon doit arriver"

9.7 Analyse structurelle avec TINA

9.7.1 Invariants de Place (P-Semi-Flows)



- MARKINGS:
- 0 : A B idle*2
 - 1 : B WaitB idle
 - 2 : idle workAB
 - 3 : WaitA WaitB
 - 4 : A WaitA idle
 - 5 : idle workBA

P-SEMI-FLOWS GENERATING SET -----
 invariant
 A WaitB workAB workBA
 WaitA WaitB idle workAB workBA
 B WaitA workAB workBA

Un lecteur potentiel ne restera pas indéfiniment en attente dans la salle de lecture, ou en d'autres termes, que toute requête d'entrée dans la salle de lecture sera honorée au bout d'un temps fini.

Analogie avec le problème des Philosophes:

Attente infinie \Rightarrow "Présence de Famine"

9.6.2 "Possibilité de Famine"

Lorsqu'un lecteur est en attente de lecture, \mathcal{E}_1 est possible:

$$\mathcal{E}_1 = (\text{Arrive_Ecrivains})^\omega$$

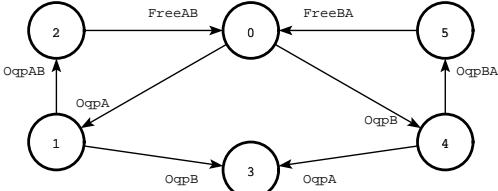
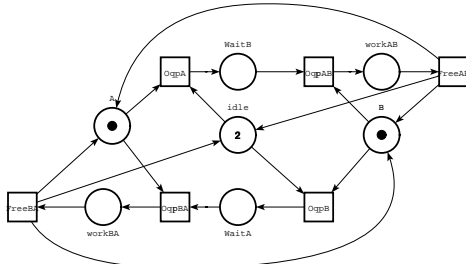
il est donc possible de faire entrer une infinité d'écrivains laissant le lecteur indéfiniment en attente

De même, la séquence infinie

$$\mathcal{E}_2 = (\text{Entre_Ecrivains.Sortie_Ecrivains.Arrive_Ecrivains})^\omega$$

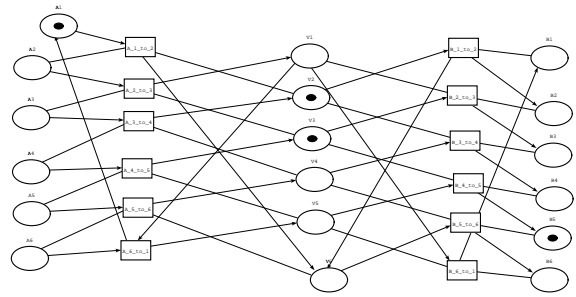
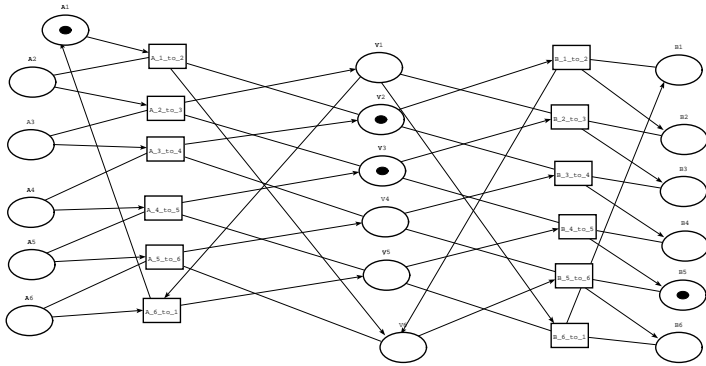
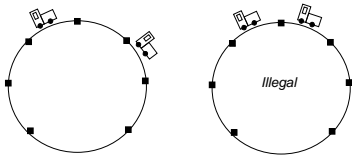
laisse de nouveau le lecteur indéfiniment en attente

9.7.2 Invariants de Transition (T-Semi-Flows)

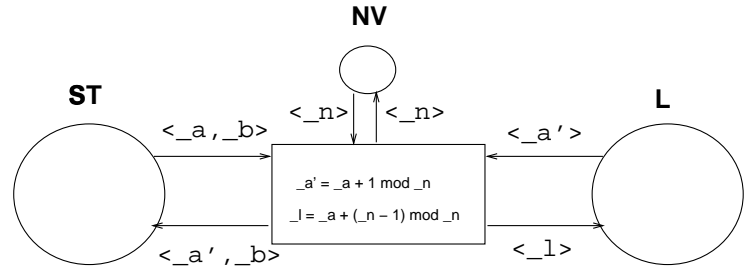


T-SEMI-FLOWS GENERATING SET -----

consistent
 FreeAB OqpA OqpAB
 FreeBA OqpB OqpBA



Version prédicat / transition



Limite du modèle de base / Limite du graphique
 Intérêt/Nécessité d'un modèle plus expressif
 Pour obtenir des descriptions plus compactes

10.1 Termes de Base

Données Initiales:

- Const ← Ensemble de Constantes
- Var ← Ensemble de Variables
- Π ← Ensemble de Symboles de Prédicats
 (Arite : Π → IN⁺)

Exemple du Train:

- Const = {train_a, train_b, 0, 1, ... 6}
- Var = { _a, _b, ... _z, _a', _b', ... _z' }
- Π = {ST, NV, L}

Arité	Instance	"Sémantique"
ST/2	ST(0, train_a)	"le train a est en 0"
NV/1	NV(7)	"la section comporte 7 voies"
L/1	L(2)	"la portion 2 est libre"

↦ L(Const, Var, Π) Ensemble des prédicats
 =_{def} plus petit ensemble vérifiant 1) 2) et 3)
 1) Const ⊂ L(Const, Var, Π)
 2) Var ⊂ L(Const, Var, Π)
 3) Pour chaque π ∈ Π tel que arite(π) = k
 et t₁, t₂, ... t_k ∈ L(Const, Var, Π)
 Alors π(t₁, t₂, ... t_k) ∈ L(Const, Var, Π)

$$\text{Termes} = \begin{cases} Const \cup Var \\ \cup \{NV(x) : x \in Const \cup Var\} \\ \cup \{L(x) : x \in Const \cup Var\} \\ \cup \{ST(x, y) : (x, y) \in (Const \cup Var)^2\} \\ \cup \dots \dots \text{infini} \end{cases}$$

Soit σ une application de $Var \mapsto L(Const, Var, \Pi)$

σ peut-être canoniquement étendue en une substitution $\bar{\sigma}$

$$\bar{\sigma} : L(Const, Var, \Pi) \mapsto L(Const, Var, \Pi)$$

de la façon suivante:

$$\begin{aligned} \bar{\sigma}(c) &= c && \text{pour } c \in Const \\ \bar{\sigma}(v) &= \sigma(v) && \text{pour } v \in Var \\ \bar{\sigma}(\pi(t_1, t_2 \dots t_k)) &= \pi(\bar{\sigma}(t_1), \bar{\sigma}(t_2), \dots \bar{\sigma}(t_k)) && \text{sinon} \end{aligned}$$

$$M = \{ST(\underline{x}, \underline{y}), ST(\underline{z}, \underline{t}), NV(\underline{v}), L(\underline{a}), L(\underline{b}), L(\underline{c})\}$$

$$\sigma =_{def} (\underline{x}/0, \underline{y}/a, \underline{z}/2, \underline{t}/b, \underline{a}/3, \underline{b}/4, \underline{c}/5, \underline{v}/7)$$

$$\bar{\sigma}(M) = \{ST(0, a), ST(2, b), NV(7), L(3), L(4), L(5)\}$$

$$\text{nb: } Card(\bar{\sigma}(M)) = Card(M)$$

$$\sigma' =_{def} (\underline{x}/0, \underline{y}/a, \underline{z}/2, \underline{t}/b, \underline{a}/3, \underline{b}/5, \underline{c}/5, \underline{v}/5)$$

$$Card(\bar{\sigma}'(M)) < Card(M)$$

Extension aux ensembles de Termes

Pour $E \subset L(Const, Var, \Pi)$ et σ une substitution:

$$\bar{\sigma}(E) =_{def} \{\bar{\sigma}(e) : e \in E\}$$

$\bar{\sigma}$ préserve le cardinal de E ssi $Card(\bar{\sigma}(E)) = Card(E)$

Terme Clos

Un terme clos est un terme sans aucune variable
(invariant pour toute substitution)

On note $L_G(Const, Var, \Pi)$,
l'ensemble des termes **clos** de $L(Const, Var, \Pi)$

117

10.3 Marquage d'un Réseau de Prédicats

Ensemble fini de Prédicats Clos

$$M = \mathcal{P}_{\mathcal{F}}(L_G(Const, Var, \Pi))$$

$\mathcal{P}_{\mathcal{F}}(E)$ ensembles des parties finies de E

118

10.4 Transition d'un Réseau de Prédicats

Quadruplet $\langle Label, Pre, Post, Cond \rangle$ où

$$Pre, Post \in \mathcal{P}_{\mathcal{F}}(L_G(Const, Var, \Pi) \setminus Var)$$

$$Label \in L(Const, Var, \Pi)$$

$$Cond \in L_{fonct}(Const, Var, Fonct)$$

où $Fonct$ un ensemble de symboles fonctionnels

Exemple

$$\begin{aligned} < \text{depart_train}(\underline{a}, \underline{b}), & \quad \text{"Label"} \\ \{ST(\underline{a}, \underline{b}), L(\underline{a}'), NV(\underline{n})\} & \quad \text{"Pre-conditions"} \\ \{ST(\underline{a}', \underline{b}), L(\underline{J}), NV(\underline{n})\} & \quad \text{"Post-conditions"} \\ [\underline{a}' = \underline{a} + 1 \text{ mod } \underline{n}, & \quad \text{"Conditions"} \\ \underline{J} = \underline{a} + (\underline{n} - 1) \text{ mod } \underline{n}] & \quad \text{sur les variables"} \\ > \end{aligned}$$

119

10.5 Réseaux de Prédicats

construit sur $\langle Const, Var, \Pi, Fonct \rangle$

Ensemble fini de Transitions

$$\begin{aligned} & \mathcal{P}_{\mathcal{F}}(\\ & \quad L(Const, Var, \Pi) \\ & \quad \times \mathcal{P}_{\mathcal{F}}(L(Const, Var, \Pi) \setminus Var) \\ & \quad \times \mathcal{P}_{\mathcal{F}}(L(Const, Var, \Pi) \setminus Var) \\ & \quad \times L_{fonct}(Const, Var, Fonct) \\ &) \end{aligned}$$

Marquage: $\mathcal{P}_{\mathcal{F}}(L_G(Const, Var, \Pi))$

120

$$M_0 = \{ST(0, a), ST(2, b), NV(7), L(3), L(4), L(5)\}$$

$$\begin{aligned} &< depart_train(_a, _b), \\ &\quad \{ST(_a, _b), L(_a'), NV(_n)\} \\ &\quad \{ST(_a', _b), L(_l), NV(_n)\} \\ &\quad [_a' = _a + 1 \text{ mod } _n, \\ &\quad \quad _l = _a + (_n - 1) \text{ mod } _n] \\ &> \end{aligned}$$

$\langle R, M \rangle$ un réseau Pr/Tr marqué,

t une transition de R

$$t = \langle label, pre, post, cond \rangle$$

et σ une application de $Var \mapsto L(Const, Var, \Pi)$

$$\sigma =_{def} (_a/2, _b/b, _a'/3, _n/7, _l/1}$$

Pb: A-t-on $M_0[\bar{\sigma}(t) >$

$$\begin{aligned} \bar{\sigma}(pre) &= \bar{\sigma}(\{ST(_a, _b), L(_a'), NV(_n)\}) \\ (1) \quad &= \{\bar{\sigma}(ST(_a, _b)), \bar{\sigma}(L(_a')), \bar{\sigma}(NV(_n))\} \\ &= \{ST(2, b), L(3), NV(7)\} \\ Card(\bar{\sigma}(pre)) &= Card(pre) \end{aligned}$$

$M[\bar{\sigma}(t) >$ “ M sensibilise l’instance de t définie par σ ” ssi

1. $\bar{\sigma}(pre) \subset M$ & $Card(\bar{\sigma}(pre)) = Card(pre)$
2. $\bar{\sigma}(cond)$ est “vraie”
3. $Card(\bar{\sigma}(post)) = Card(post)$
4. $[\bar{\sigma}(post) \setminus \bar{\sigma}(pre)] \cap M = \emptyset$
où $A \setminus B =_{def} \{x \in A \text{ et } x \notin B\}$

$$\begin{aligned} \bar{\sigma}(cond) &= \bar{\sigma}([_a' = _a + 1 \text{ mod } _n \\ &\quad \text{et } _l = _a + (_n - 1) \text{ mod } _n]) \\ (2) \quad &= [(3 = 2 + 1 \text{ mod } 7) \\ &\quad \text{et } (1 = 2 + (7 - 1) \text{ mod } 7)] \\ \bar{\sigma}(cond) &\text{ est vraie} \end{aligned}$$

121

122

$$\begin{aligned} (3) \quad \bar{\sigma}(post) &= \bar{\sigma}(\{ST(_a', _b), L(_l), NV(_n)\}) \\ &= \{ST(3, b), L(1), NV(7)\} \\ Card(\bar{\sigma}(post)) &= Card(post) \end{aligned}$$

10.7 Tir d’un transition

Si $M[\bar{\sigma}(t) >$ alors $\exists M' : M[\bar{\sigma}(t) > M'$

$$M' = (M \setminus \bar{\sigma}(pre)) \cup \bar{\sigma}(post)$$

$$\begin{aligned} (4) \quad \bar{\sigma}(post) \setminus \bar{\sigma}(pre) &= [\{ST(3, b), L(1), NV(7)\} \\ &\quad \setminus \{ST(2, b), L(3), NV(7)\}] \\ &= \{ST(3, b), L(1)\} \end{aligned}$$

$$\begin{aligned} [\bar{\sigma}(post) \setminus \bar{\sigma}(pre)] \cap M_0 &= \{ST(3, b), L(1)\} \\ &\quad \cap \{ST(0, a), ST(2, b), \\ &\quad \quad NV(7), L(3), L(4), L(5)\} \\ &= \emptyset \end{aligned}$$

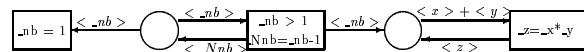
Exemple

On a $M_0[\bar{\sigma}(t) >$

$$\text{Avec } M' = \{ST(3, b), L(1), NV(7), ST(0, a), L(4), L(5)\}$$

10.8 Exercice

Γ -Calcul



$$(1),(2),(3),(4) \Rightarrow M_0[\bar{\sigma}(t) >$$

123

10.9 Quelques exemples

124

```

INITIALIZE
TO idle([p1,p2,p3]), rec(a,1), rec(b,1),rec(c,1)
END;

TRANS take(_x,_r)
FROM idle([_x|_tail]),rec(_r,_n)
TO idle(_tail),rec(_r,_nn),oqp(_x,_r)
PROVIDED positif(_n),minus(_n,_nn)
END;

TRANS take(_x,_q)
FROM oqp(_x,_r),rec(_q,_n)
TO work(_x,_r,_q),rec(_q,_nn)
PROVIDED positif(_n),minus(_n,_nn),other(_r,_q)
END;

TRANS release(_x,_r,_q)
FROM work(_x,_r,_q),idle(_list),rec(_q,_xq),rec(_r,_xr)
TO idle([_x|_list]),rec(_q,_nxq),rec(_r,_nxr)
PROVIDED plus(_xr,_nxr),plus(_xq,_nxq)
END;

PROLOG-CODE ;
other(_a,_b) :- \+ _a == _b .
minus(_x,_nx) :- _nx is _x - 1 .
plus(_x,_nx) :- _nx is _x + 1 .
positif(_x) :- _x > 0 .

```

```

PrT MODEL;
INITIALIZE
TO nb(5),
oisif(0), oisif(1), oisif(2), oisif(3), oisif(4),
fork(0), fork(1), fork(2), fork(3), fork(4)
END;

TRANS demande(_ident)
FROM oisif(_ident)
TO attente(_ident)
END;

TRANS mange(_ident)
FROM attente(_ident),nb(_nb),fork(_left),fork(_right)
PROVIDED voisins(_ident,_nb,_left,_right)
TO mange(_ident),nb(_nb)
END;

TRANS pense(_ident)
FROM attente(_ident),nb(_nb)
PROVIDED voisins(_ident,_nb,_left,_right)
TO mange(_ident),fork(_left),fork(_right),nb(_nb)
END;

PROLOG-CODE;
voisins(_ident,_nb,_ident,_right) :-
_right is ((_ident + 1) mod _nb) .

```

10.10 Réseau Place/Transition et Prédicat/Transition

Propriété: Tout réseau place/transition peut se traduire en réseau Prédicat/Transition.
Réciproque fausse: Un réseau Prédicat/Transition permet de représenter le "test à zéro" (i.e arcs inhibiteurs)

```

PrT MODEL;

INITIALIZE
TO x(0)
END;

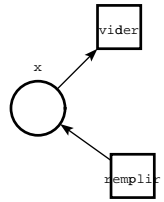
TRANS remplir_x
FROM x(_x)
TO x(_nx)
PROVIDED
_nx is (_x + 1)
END;

TRANS vider_x
FROM x(_x)
TO x(_nx)
PROVIDED _x > 0,
_nx is (_x - 1)
END;

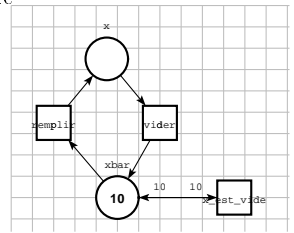
TRANS x_est_vide
FROM x(0)
TO x(0)
END;

```

Pas de solution dans le cas général



Si on connaît la borne de la place alors on peut utiliser d'une place complémentaire



10.10.1 Principe de la traduction

PrT MODEL; (* Première Version *)

```

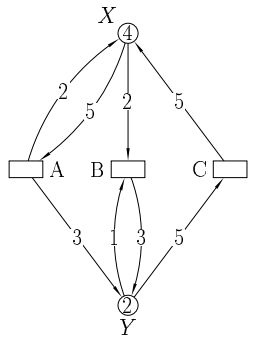
INITIALIZE
TO x(4), y(2)
END;

TRANS a
FROM x(_x), y(_y)
TO x(_nx), y(_ny)
PROVIDED _x >= 5,
_nx is (_x - 5) + 2,
_ny is _y + 3
END;

TRANS b
FROM x(_x), y(_y)
TO x(_nx), y(_ny)
PROVIDED _x >= 2, _y >= 1,
_nx is _x - 2,
_ny is (_y - 1) + 3
END;

TRANS c
FROM x(_x), y(_y)
TO x(_nx), y(_ny)
PROVIDED _y >= 5, _nx is _x + 5,
_ny is _y - 5
END;

```




```

INITIALIZE
TO x(4), y(2)
END;

TRANS a
FROM x(_x), y(_y)
TO x(_nx), y(_ny)
PROVIDED a_tirable(_x, _y),
tir_a(_x, _y, _nx, _ny)
END;

TRANS b
FROM x(_x), y(_y)
TO x(_nx), y(_ny)
PROVIDED b_tirable(_x, _y),
tir_b(_x, _y, _nx, _ny)
END;

TRANS c
FROM x(_x), y(_y)
TO x(_nx), y(_ny)
PROVIDED c_tirable(_x, _y),
tir_c(_x, _y, _nx, _ny)
END;

```

```

PROLOG-CODE;

a_tirable(_x, _y) :-
    _x >= 5 .
b_tirable(_x, _y) :-
    _x >= 2, _y >= 1 .
c_tirable(_x, _y) :-
    _y >= 5 .

tir_a(_x, _y, _nx, _ny) :-
    _nx is (_x - 5)
    _ny is _y + 3 .
tir_b(_x, _y, _nx, _ny) :-
    _nx is _x - 2,
    _ny is (_y - 1)
tir_c(_x, _y, _nx, _ny) :-
    _nx is _x + 5,
    _ny is _y - 5 .

```

```

INITIALIZE
TO x(4), y(2)
END;

TRANS _nom
FROM x(_x), y(_y)
TO x(_nx), y(_ny)
PROVIDED est_tirable(_nom, _x, _y),
tir_de(_nom, _x, _y, _nx, _ny)
END;

PROLOG-CODE;
est_tirable(a, _x, _y) :- _x >= 5 .
est_tirable(b, _x, _y) :- _x >= 2, _y >= 1 .
est_tirable(c, _x, _y) :- _y >= 5 .

tir_de(a, _x, _y, _nx, _ny) :- _nx is (_x - 5) + 2, _ny is _y + 3 .
tir_de(b, _x, _y, _nx, _ny) :- _nx is _x - 2, _ny is (_y - 1) + 3 .
tir_de(c, _x, _y, _nx, _ny) :- _nx is _x + 5, _ny is _y - 5 .

```

Propriété Tout réseau place-transition peut se ramener à un réseau prédicat-transition possédant une seule transition.

Contents

1 Définitions de Base	10
1.1 Réseau Place/Transition	10
1.2 Représentation Graphique	10
1.3 Réseau Place/Transition Marqué	11
1.4 Notations Matricielles	12
2 Dynamique des Réseaux de Petri	13
2.1 Transition sensibilisée	13
2.2 Règle de Tir d'une transition sensibilisée	13
2.3 Exemple	14
3 Espace des Etats Accessibles	16
3.1 Ensemble des Marquages accessibles $A(R, m_0)$	16
3.2 Graphe des Marquages accessibles $G(R, m_0)$	16
3.2.1 Exemple	17
3.3 Pseudo- Algorithme de Construction du graphe des marquages	18
3.4 Exercice	19
3.5 Exemples	21
3.5.1 Partage de Ressources	21
3.5.2 Partage de Ressources (variante)	23

3.5.3 Scheduler de Milner	26
3.5.4 La vie d'un planteur de bananes	27
3.6 Langage associé à un Rdp $L(R, m_0)$	29
4 Propriétés des Réseaux	30
4.1 N est sans blocage	30
4.2 N est Réinitialisable (propre)	31
4.3 N est Quasi-Vivant	32
4.3.1 Non quasi-vivant et propre	33
4.4 N est Vivant	34
4.4.1 Vivant et non propre	35
4.5 Relations entre les propriétés	36
4.6 N est infiniment actif	37
4.7 N est borné	38
4.7.1 Borné versus Blocage	40
5 D'autres exemples de réseau de Petri	42
5.1 Piscine	42
5.2 Trains de Genrich	48
5.3 Une histoire de pont	52
6 Réseaux de Petri et //	57

6.2	Fork	59
6.3	Join	60
6.4	Communication	61
6.5	Choix	63
6.6	Conflit & Indépendance	64
7	Equation fondamentale des Réseaux de Petri	66
7.1	Matrices d'un réseau	66
7.2	Réseau est Pur	66
7.3	Image commutative d'une séquence de transitions	68
7.4	Equation Fondamentale	69
8	Algorithme de Décision de la bornitude	71
8.1	Propriété de Monotonie	72
8.2	Réseaux Infiniment Actifs	74
8.2.1	Caractérisation des Réseaux Infiniment Actifs	75
8.3	Caractérisation des réseaux non-bornés	77
8.4	Arbre de Couverture	78
8.5	Algorithme associé	82
8.5.1	Exemple	83

8.6	Graphe de Couverture	85
8.6.1	Propriétés du graphe de couverture	85
8.6.2	Exemples	86
9	Analyse Structurelle	92
9.1	Intuition	92
9.2	Analyse Structurelle (principe)	96
9.3	Composantes Conservatives (Invariants de Place)	97
9.4	Composantes Répétitives (Invariants de Transition)	100
9.5	Problème des lecteurs/écrivains	101
9.5.1	Un modèle possible	102
9.5.2	Vérification des propriétés de synchronisation	104
9.5.3	Analyse structurelle: Matrice d'incidence	105
9.6	Quelques remarques sur l'analyse structurelle	109
9.6.1	Vivacité/Sûreté	109
9.6.2	"Possibilité de Famine"	110
9.7	Analyse structurelle avec TINA	111
9.7.1	Invariants de Place (P-Semi-Flows)	111
9.7.2	Invariants de Transition (T-Semi-Flows)	112

10	Réseaux de Prédicats (Pr/Tr)	113
10.1	Termes de Base	115
10.2	Substitution	117
10.3	Marquage d'un Réseau de Prédicats	118
10.4	Transition d'un Réseau de Prédicats	119
10.5	Réseaux de Prédicats	120
10.6	Sensibilisation d'une Transition	121
10.7	Tir d'un transition	124
10.8	Exercice	124
10.9	Quelques exemples	124
10.9.1	Scheduleur amélioré	125
10.9.2	Philosophes	126
10.10	Réseau Place/Transition et Prédicat/Transition	127
10.10.1	Principe de la traduction	128